

# Dalla dinamica alla normativa sismica

Sistemi a un grado di libertà:  
studio del comportamento elastico

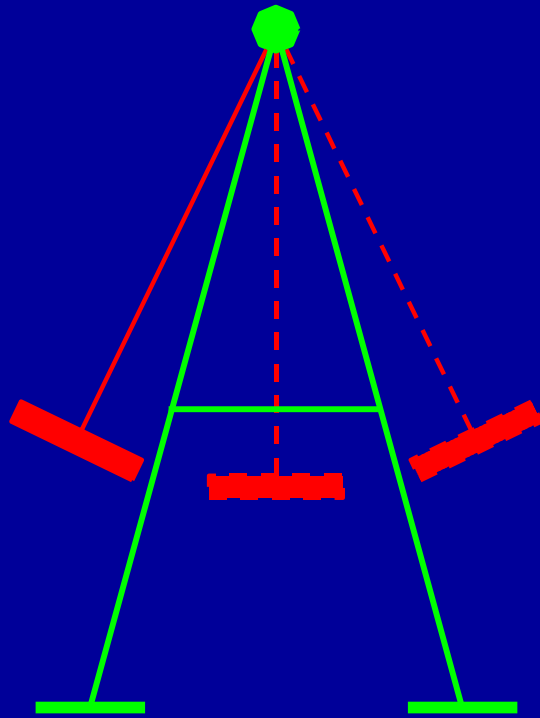
Catania, 1 aprile 2004

Bruno Biondi

Aurelio Ghersi

# Oscillazioni libere

Esempio: altalena



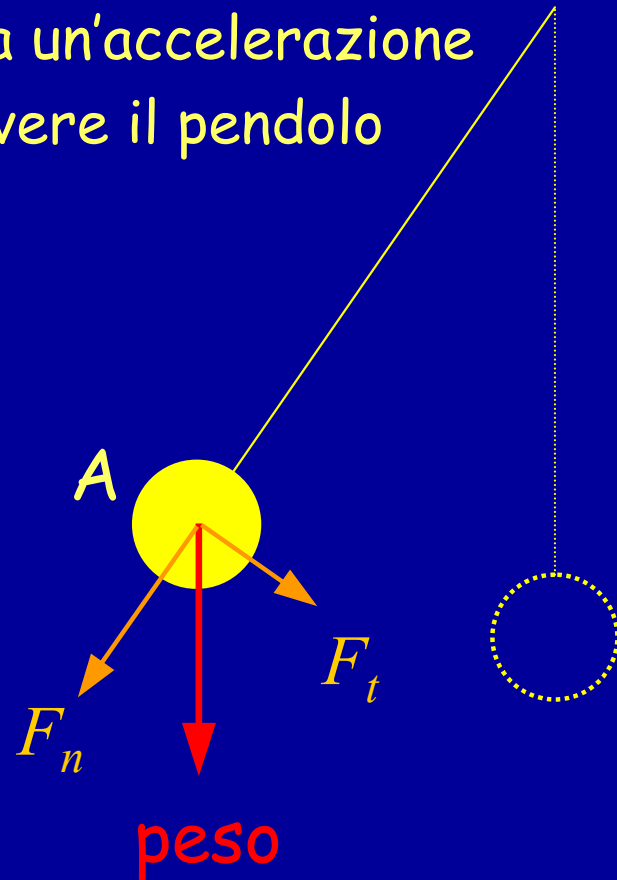
Spostando il sedile dell'altalena e poi lasciandolo libero, esso oscilla con un periodo  $T$  ben preciso

# Oscillazioni libere pendolo (esempio: altalena)

A) Il peso è scomposto nelle forze

$F_n$  assorbita dall'asta del pendolo

$F_t$  che provoca un'accelerazione  
che fa muovere il pendolo

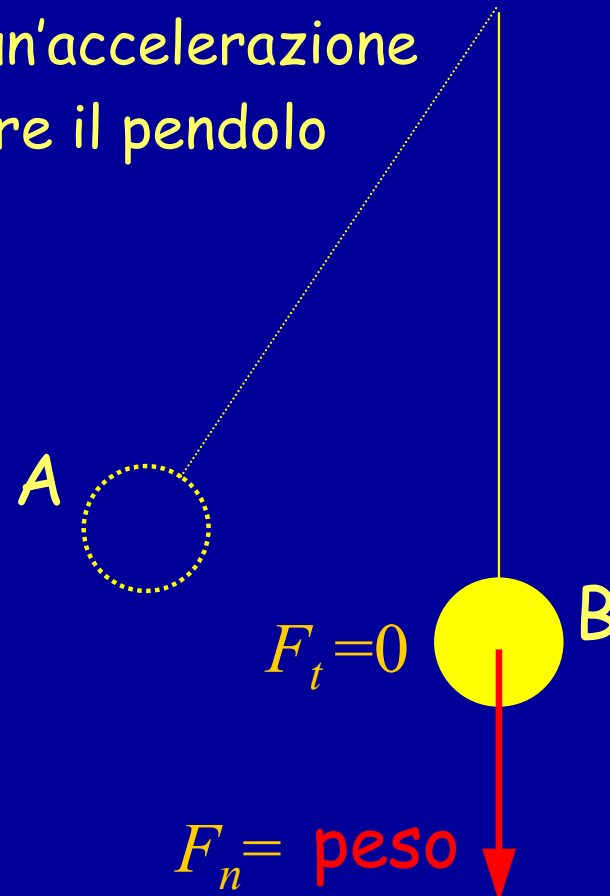


# Oscillazioni libere pendolo (esempio: altalena)

A) Il peso è scomposto nelle forze

$F_n$  assorbita dall'asta del pendolo

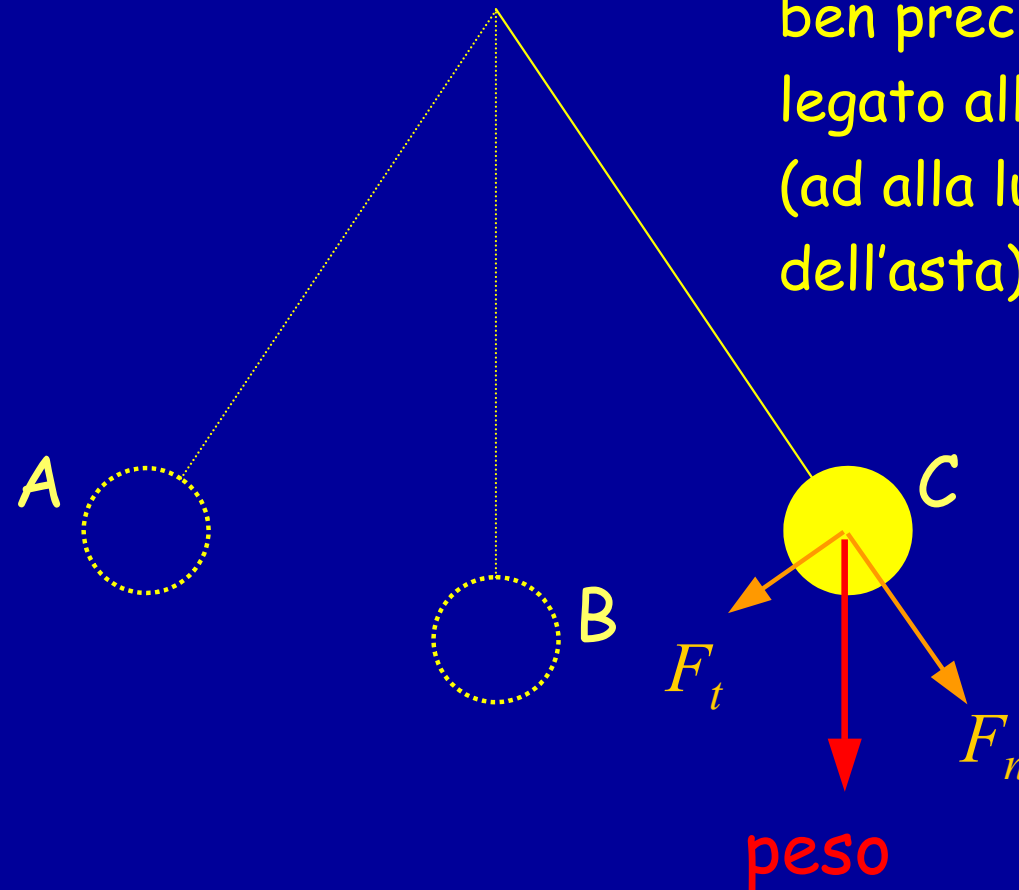
$F_t$  che provoca un'accelerazione  
che fa muovere il pendolo



B) In questa posizione la  
velocità è massima  
(quando inizia a  
risalire rallenta) ma  
l'accelerazione è nulla  
perché  $F_t = 0$

# Oscillazioni libere pendolo (esempio: altalena)

Il pendolo oscilla con  
un periodo  $T$   
ben preciso,  
legato alla massa  
(ad alla lunghezza  
dell'asta)

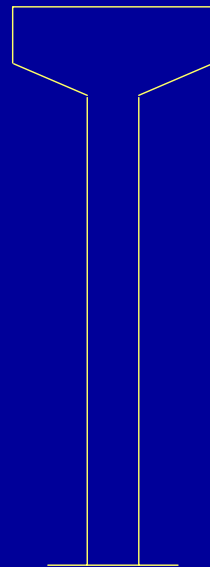


# Oscillazioni libere struttura a un grado di libertà

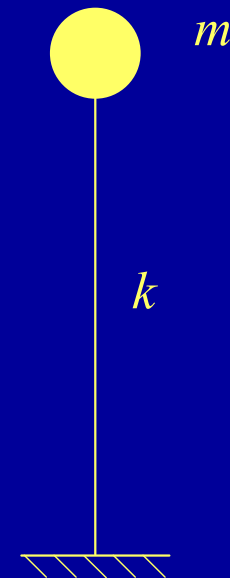
## Serbatoio pensile



Foto



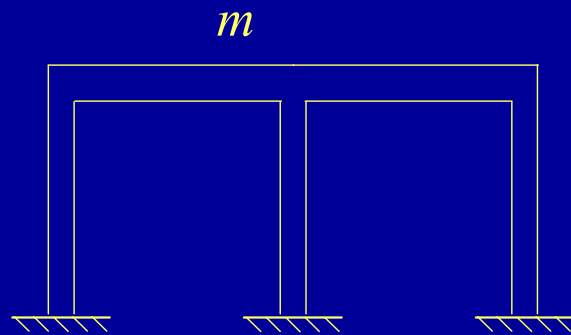
Disegno  
schematico



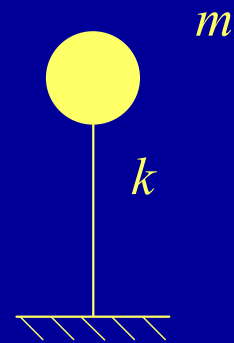
Modello  
di calcolo

# Oscillazioni libere struttura a un grado di libertà

## Telaio monopiano

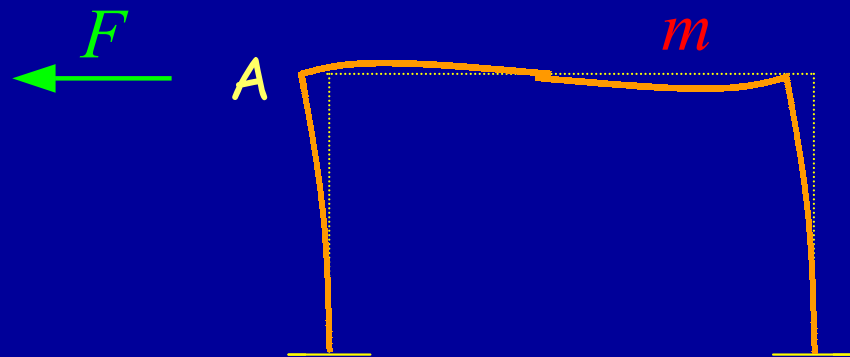


Disegno  
schematico



Modello di  
calcolo

# Oscillazioni libere telaio monopiano



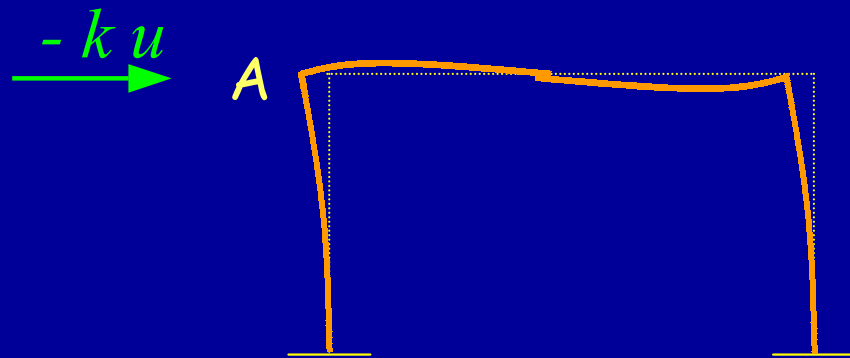
- A) Per deformare il telaio in questa posizione occorre applicare una forza  $F$ , uguale ed opposta alla forza elastica che tende a riportare il telaio alla posizione indeformata (forza di richiamo elastico).

Equilibrio statico

$$F = k u$$



# Oscillazioni libere telaio monopiano



Lo spostamento è funzione del tempo

$$u = u(t)$$

$$\ddot{u}(t) = \frac{d^2 u(t)}{d t^2}$$

Quando si lascia libero il telaio, agisce solo la forza di richiamo elastico, che provoca un'accelerazione.

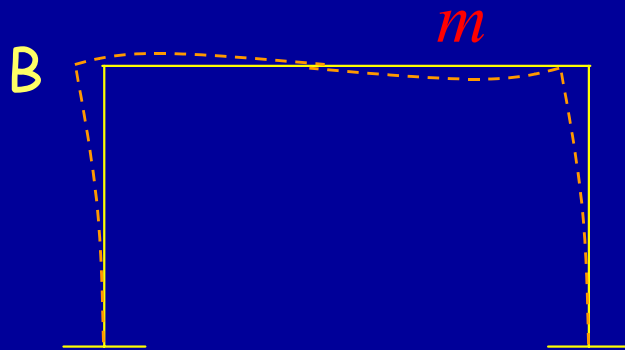
Equazione di equilibrio dinamico

$$-k u(t) = m a(t)$$

$$m \ddot{u}(t) + k u(t) = 0$$

# Oscillazioni libere telaio monopiano

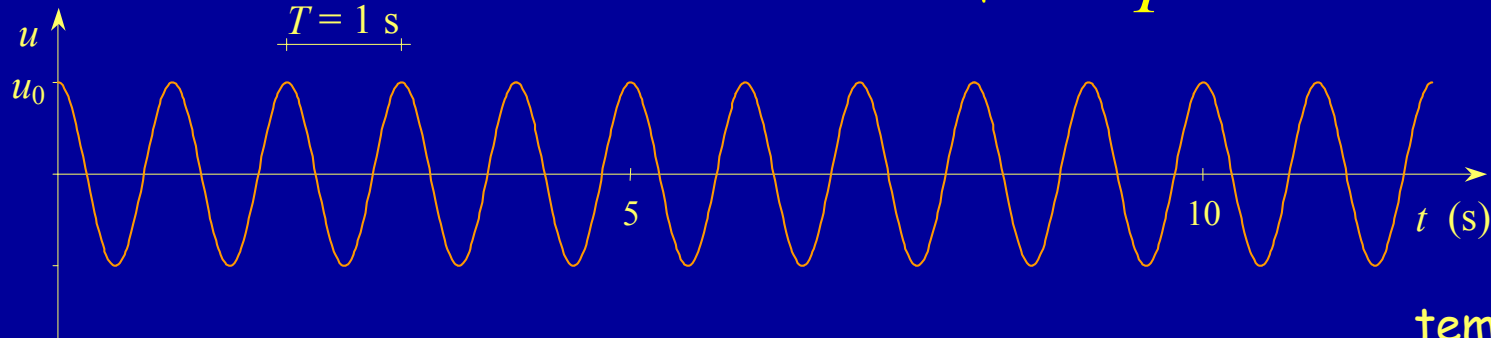
B) Tornato nella posizione indeformata, la velocità è massima e l'accelerazione nulla (come la forza di richiamo elastico).



$$u(t) = \frac{\dot{u}_0}{\omega} \text{sen}(\omega t) + u_0 \text{cos}(\omega t)$$

$$\omega = \sqrt{\frac{k}{m}} = \frac{2\pi}{T}$$

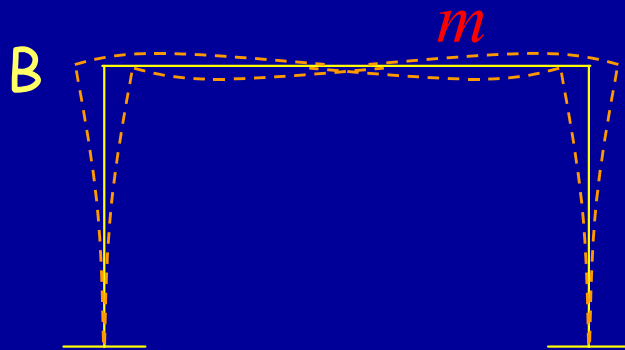
spostamento



tempo

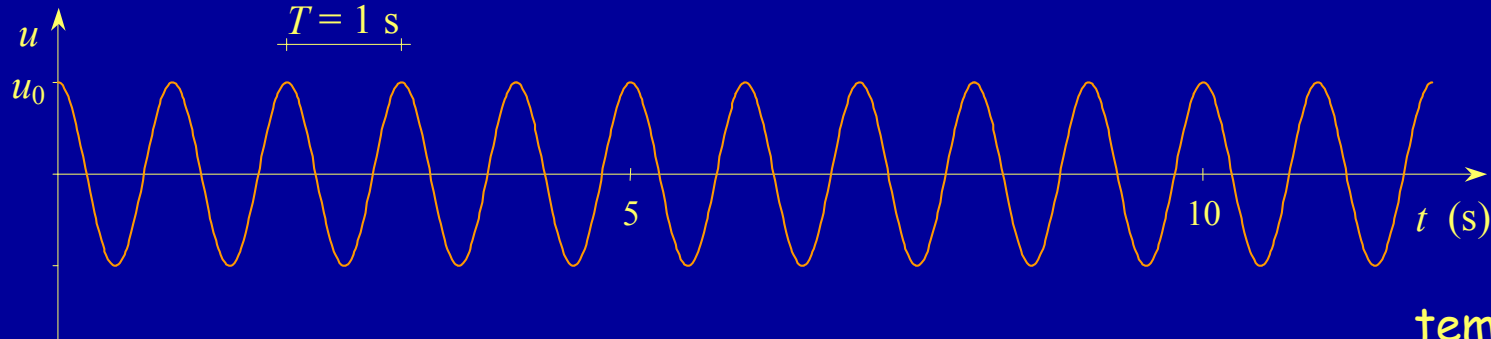
# Oscillazioni libere telaio monopiano

Il telaio oscilla con un periodo ben preciso, legato alla massa ed anche alla rigidezza del telaio



$$T = 2 \pi \sqrt{\frac{m}{k}}$$

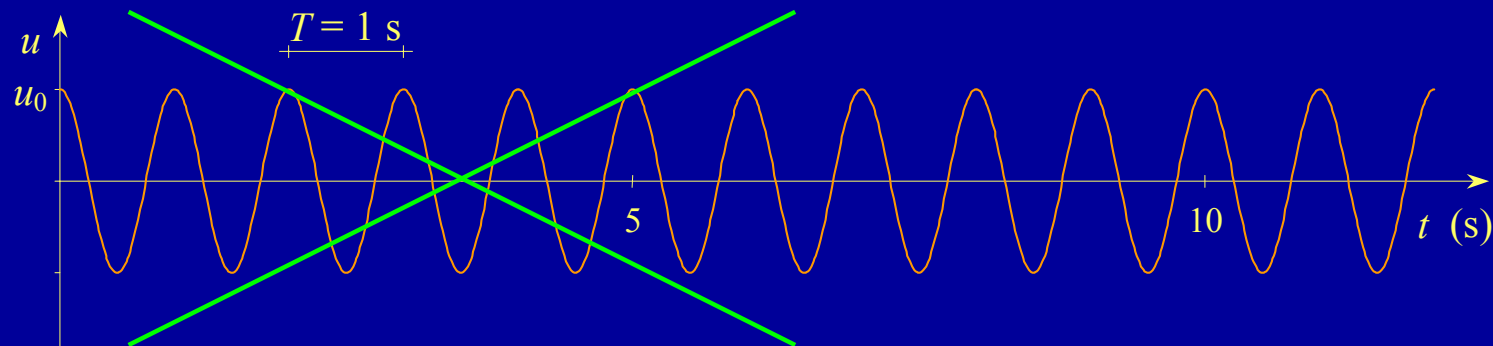
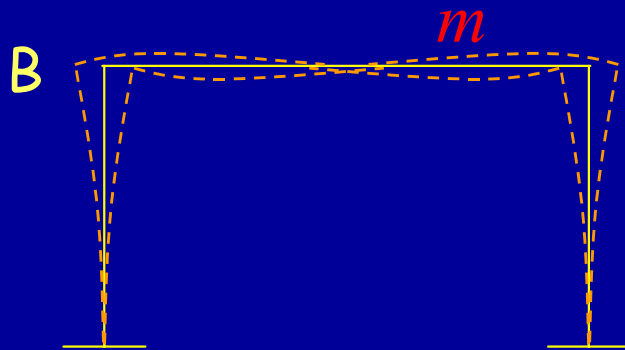
spostamento



tempo

# Oscillazioni libere con smorzamento telaio monopiano

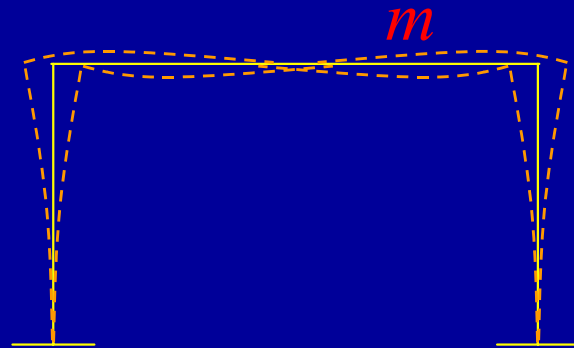
In realtà il moto non  
continua così, a causa  
della dissipazione di  
energia (smorzamento)



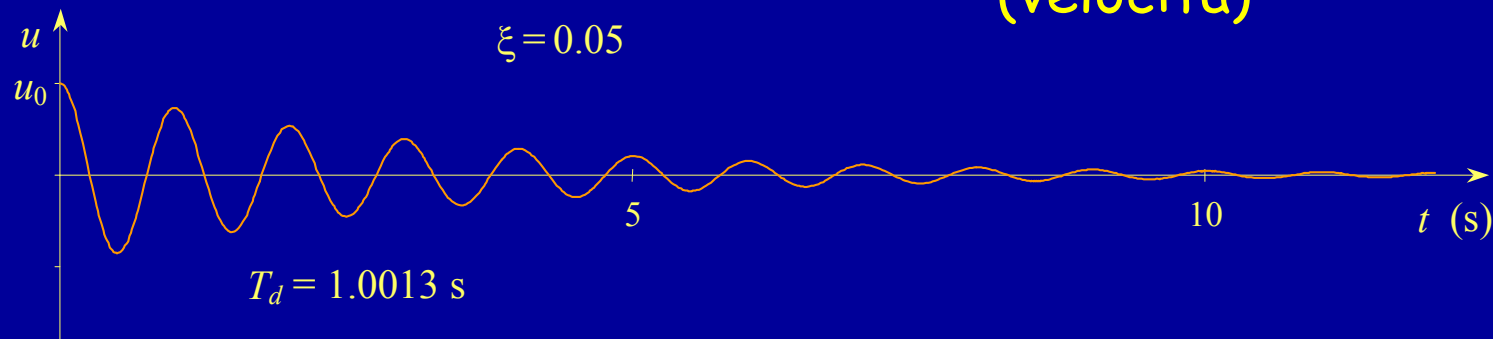
# Oscillazioni libere con smorzamento telaio monopiano

Equazione del moto:

$$m \ddot{u} + c \dot{u} + k u = 0$$



La forza di smorzamento  
si suppone legato alla  
variazione di spostamento  
(velocità)

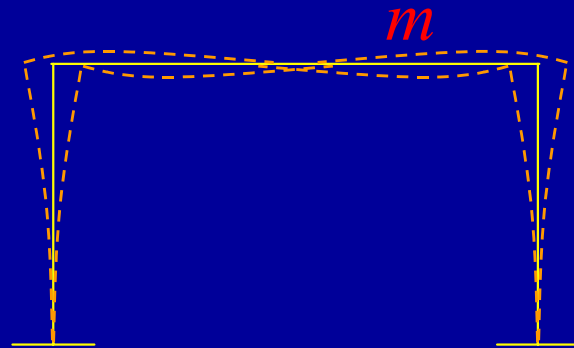


# Oscillazioni libere con smorzamento telaio monopiano

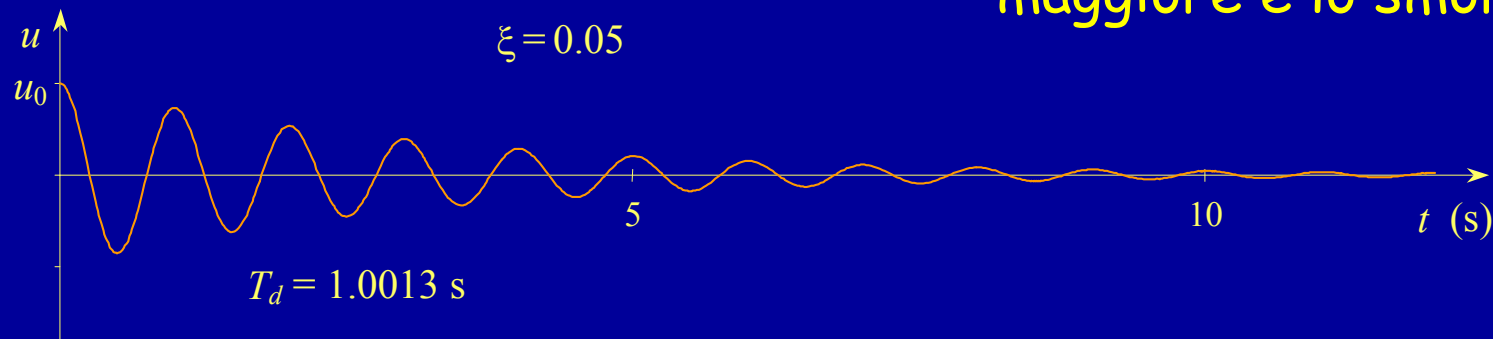
$$u(t) = \exp\{-\xi\omega t\} [c_1 \sin(\omega_d t) + c_2 \cos(\omega_d t)]$$

Equazione del moto:

$$m \ddot{u} + c \dot{u} + k u = 0$$



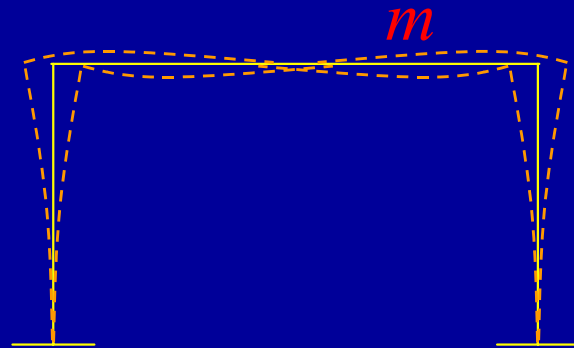
L'ampiezza del moto si  
riduce tanto più  
rapidamente quanto  
maggiore è lo smorzamento



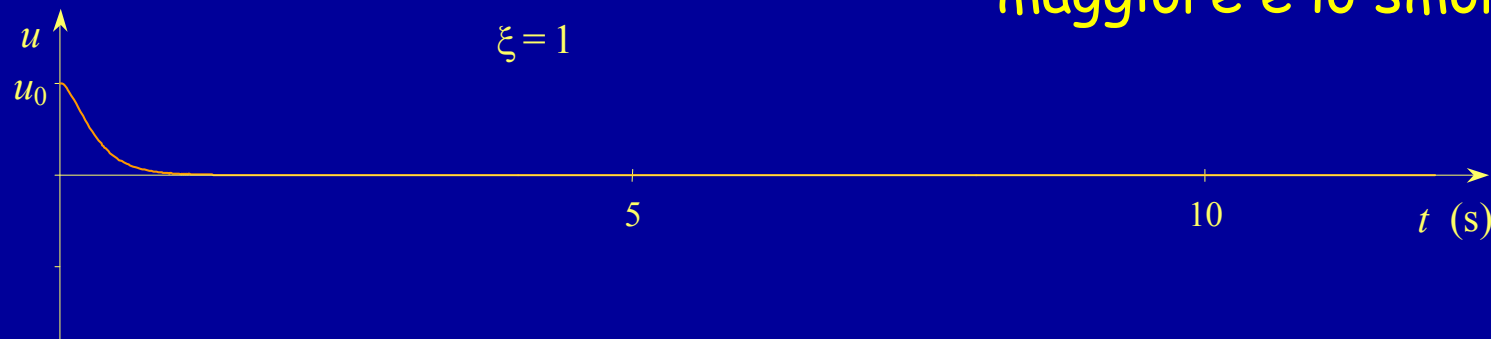
# Oscillazioni libere con smorzamento telaio monopiano

Equazione del moto:

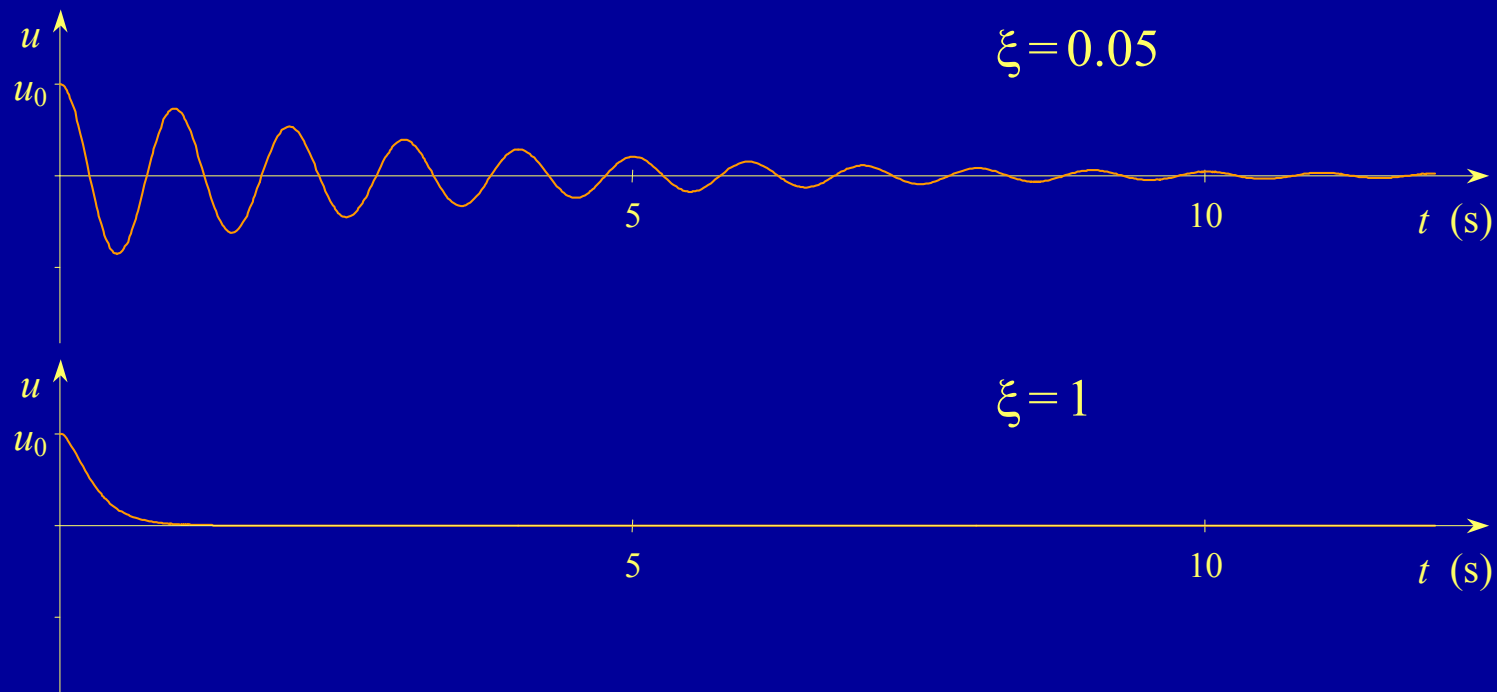
$$m \ddot{u} + c \dot{u} + k u = 0$$



L'ampiezza del moto si  
riduce tanto più  
rapidamente quanto  
maggiore è lo smorzamento



# Oscillazioni libere con smorzamento telaio monopiano



Si indica col termine "smorzamento critico" quel valore per il quale il sistema raggiunge lo stato di quiete senza oscillare

Lo smorzamento viene di solito indicato come percentuale  $\xi$  dello smorzamento critico

$$\xi = \frac{c}{2 \sqrt{k m}}$$



# Smorzamento - negli edifici

Dipende da:

- Elementi non strutturali (tramezzi, tompagni) molto
- Non linearità del materiale di meno

Edifici in cemento armato, con tramezzi in muratura:

- Si può assumere un valore di smorzamento percentuale  $\xi = 0.05$

Edifici in acciaio, con tramezzatura leggera:

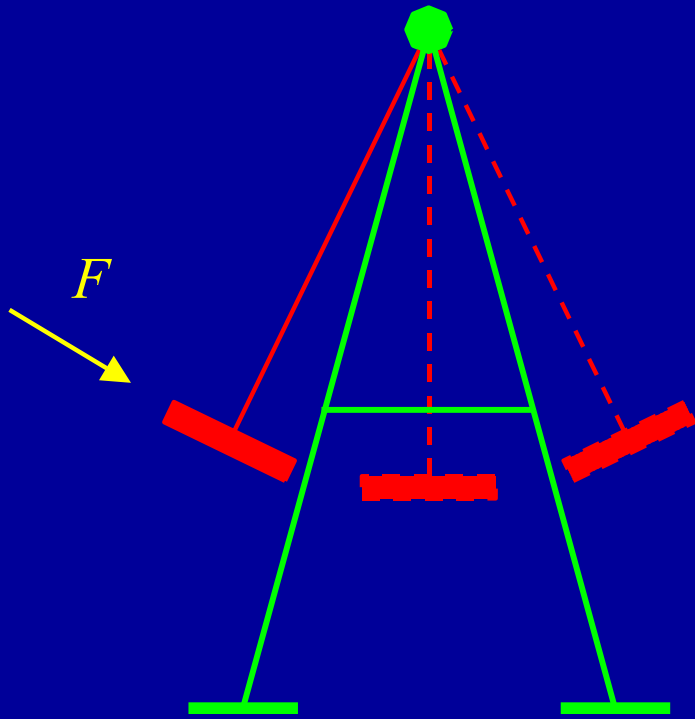
- È consigliabile usare un valore minore di  $\xi = 0.05$

Edifici isolati alla base, con isolatori in gomma:

- Si può usare un valore maggiore di  $\xi = 0.05$

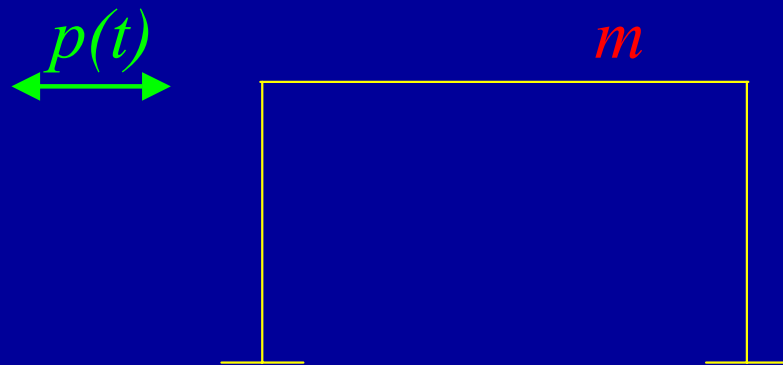
# Oscillazioni forzate

Esempio: altalena



Dando (in maniera periodica) una piccola spinta al sedile dell'altalena, le oscillazioni si amplificano sempre di più

# Oscillazioni forzate telaio monopiano



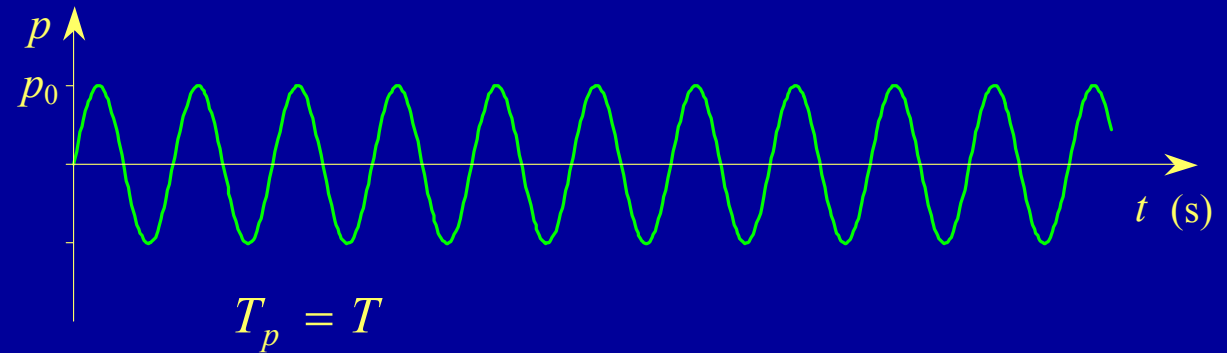
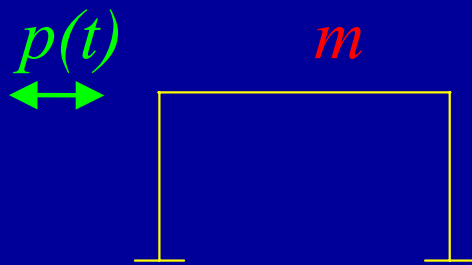
Equazione del moto:

$$m \ddot{u} + c \dot{u} + k u = p(t)$$

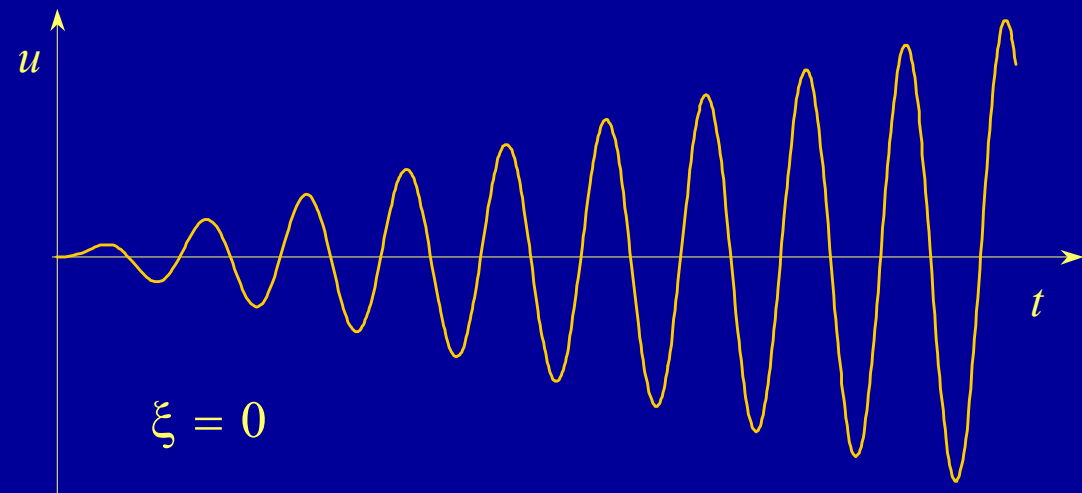
Nell'equazione del moto  
compare un nuovo termine  
(l'azione forzante)

$$u(t) = \exp\{-\xi \omega t\} [c_1 \text{sen}(\omega_d t) + c_2 \text{cos}(\omega_d t)] + \\ + \frac{1}{m \omega_d} \int_0^t f(\tau) \exp\{-\xi \omega (t - \tau)\} \text{sen}(\omega_d (t - \tau)) d\tau$$

# Oscillazioni forzate telaio monopiano

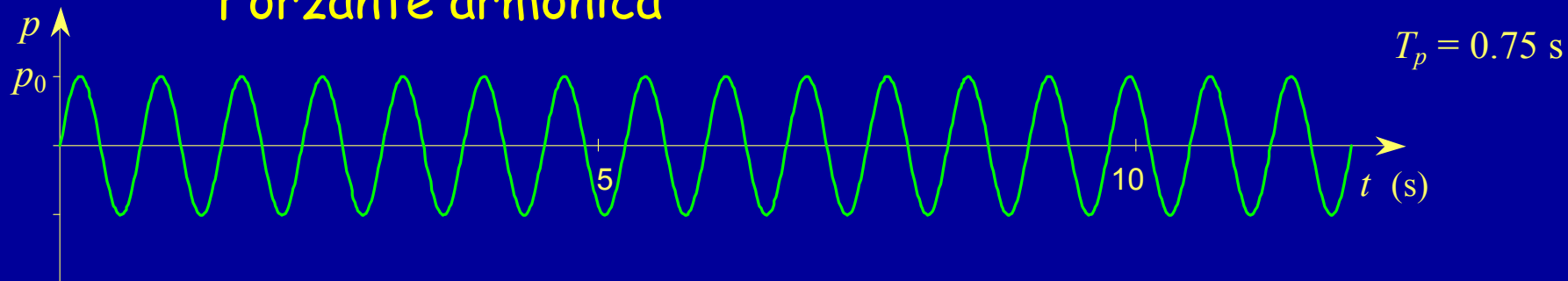


Se il periodo della  
forzante coincide con  
quello del sistema,  
in assenza di  
smorzamento  
il moto si amplifica  
sempre più



risonanza

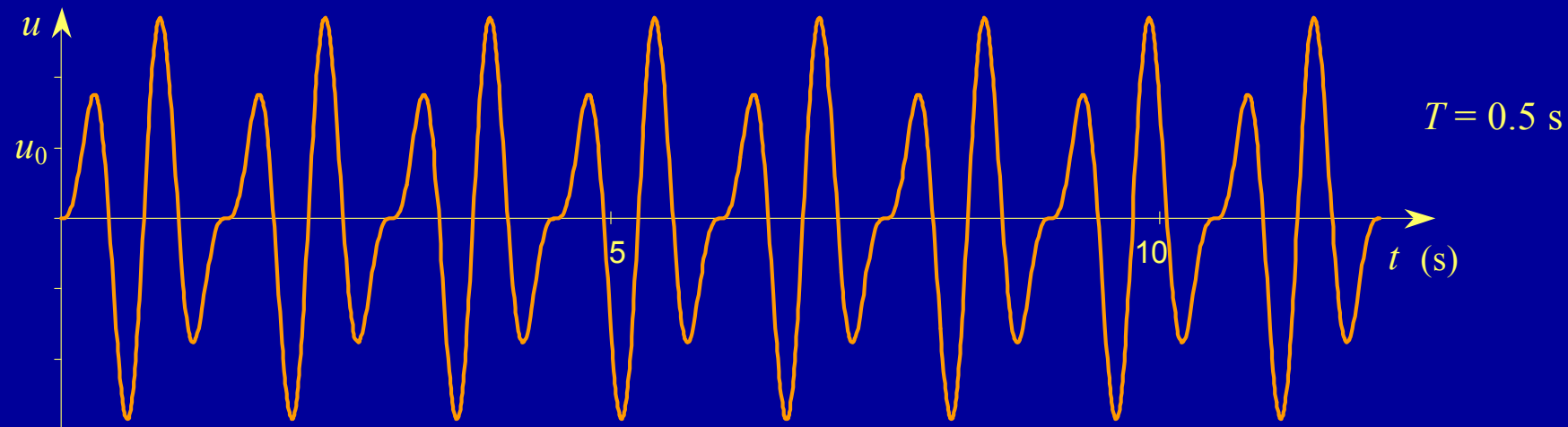
## Forzante armonica



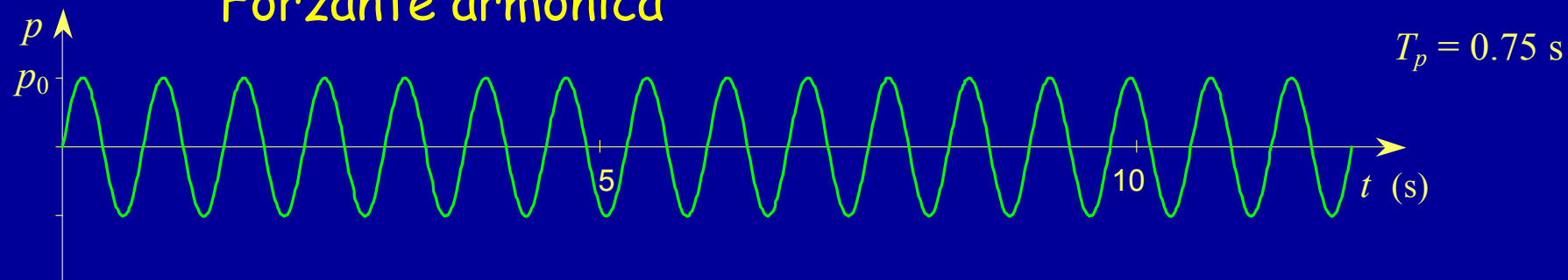
## Risposta, senza smorzamento



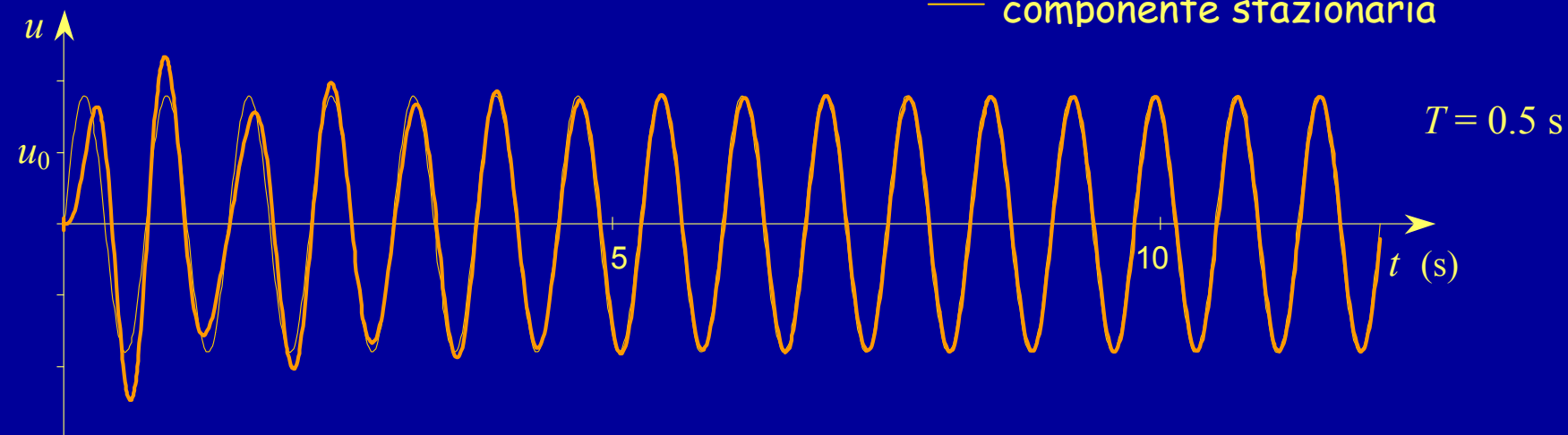
— moto totale



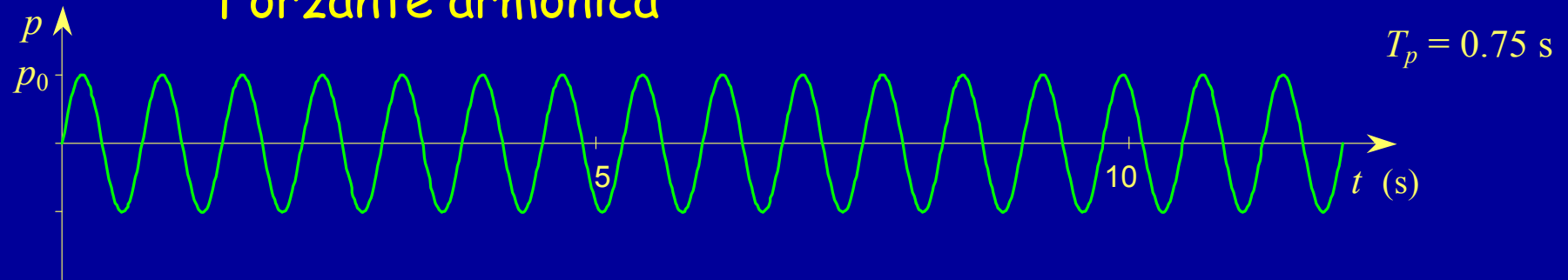
## Forzante armonica



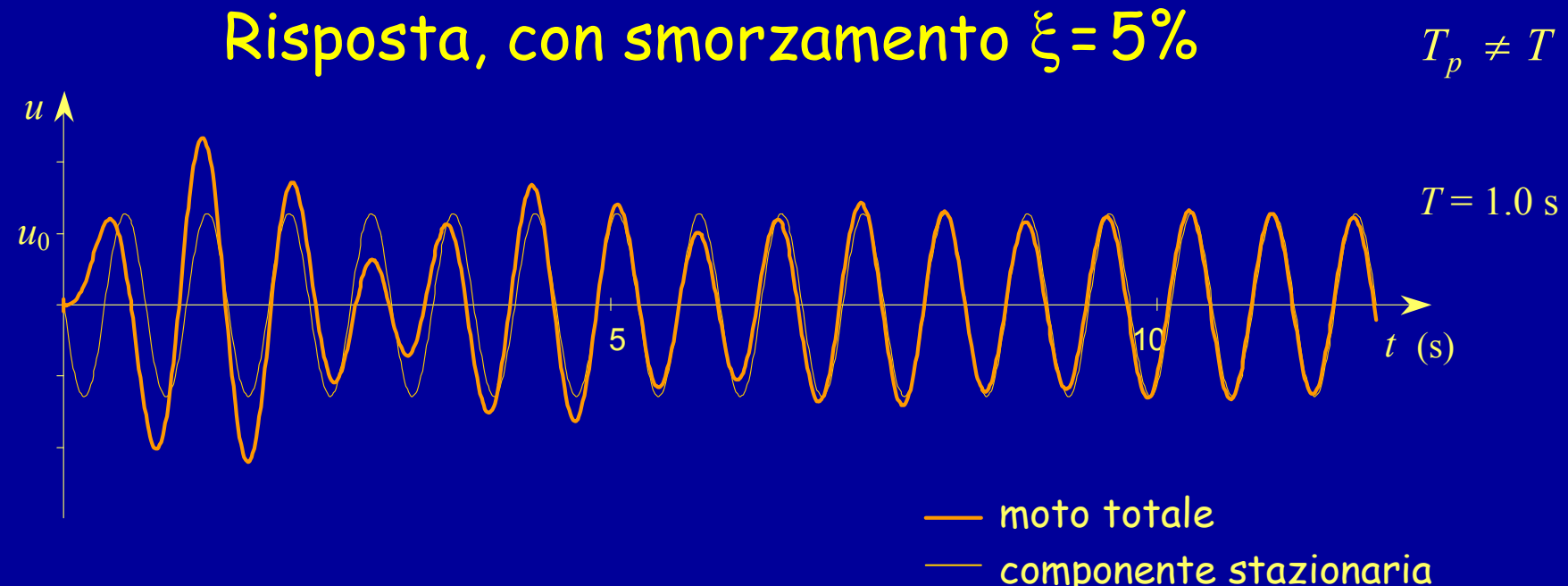
## Risposta, con smorzamento $\xi = 5\%$



## Forzante armonica

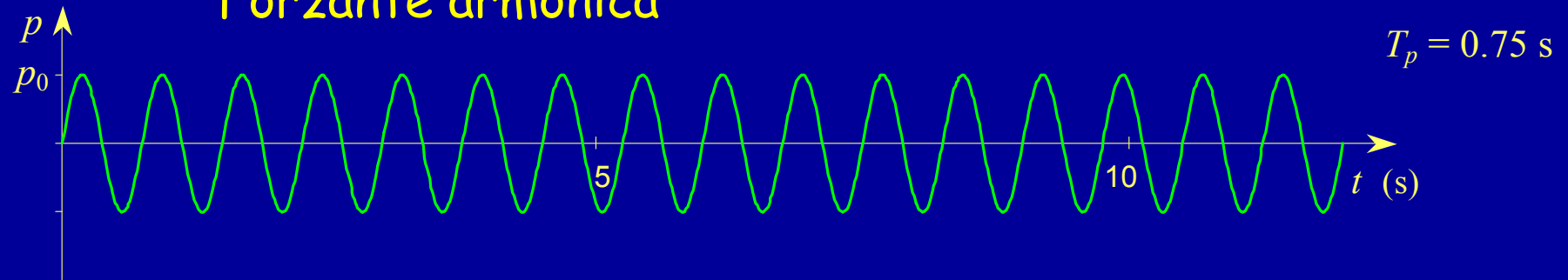


## Risposta, con smorzamento $\xi = 5\%$

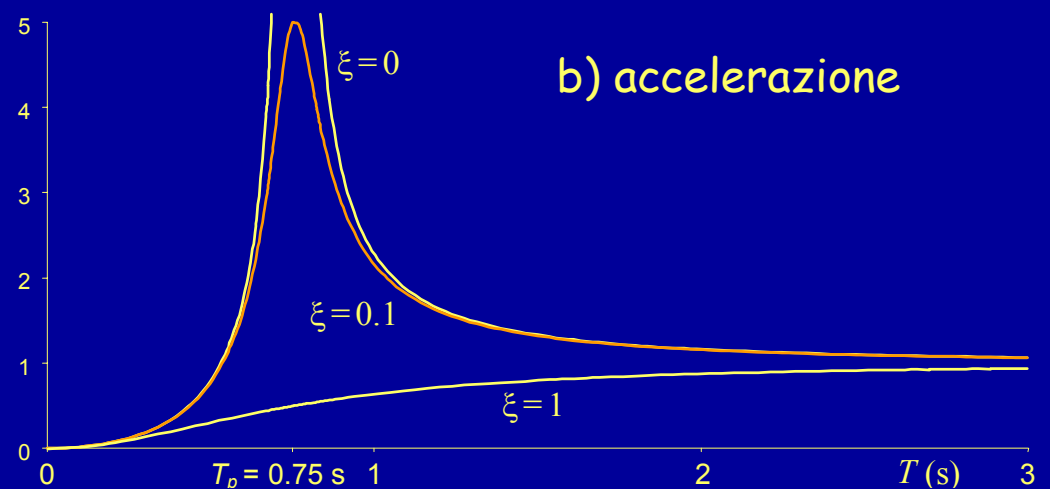
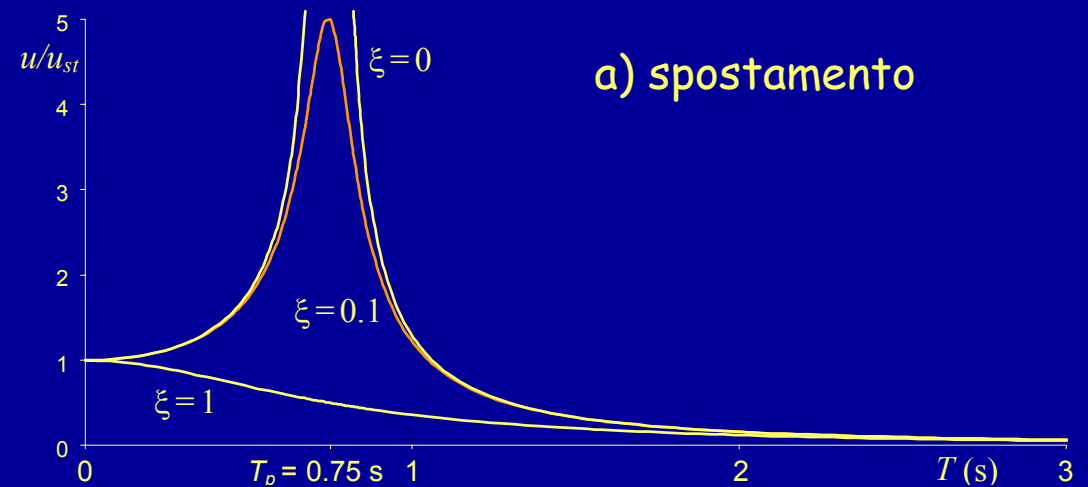


Il moto è somma di una componente armonica che ha lo stesso periodo della forzante ed ampiezza costante (componente stazionaria) e di una componente che ha lo stesso periodo del sistema ma ampiezza che si riduce man mano (componente transitoria)

## Forzante armonica

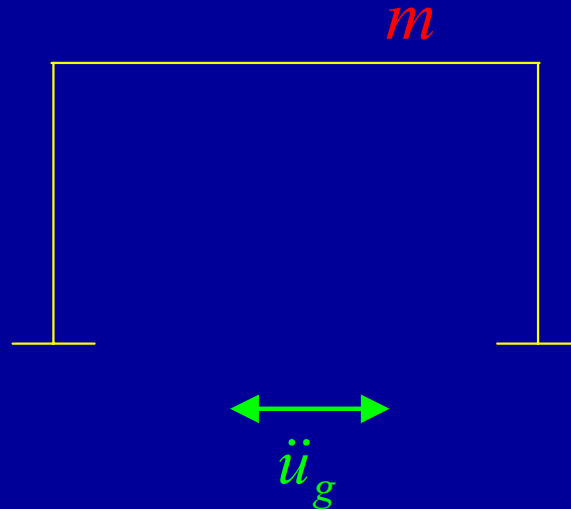


Il moto viene amplificato o ridotto, in funzione del periodo proprio e dello smorzamento del sistema





# Oscillazioni forzate (moto del terreno)



Equazione del moto

$$m \ddot{u}_{TOT}(t) + c \dot{u}(t) + k u(t) = 0$$

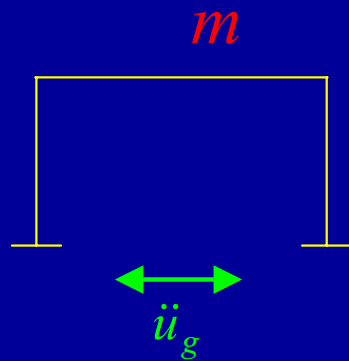
$$\ddot{u}_{TOT}(t) = \ddot{u}(t) + \ddot{u}_g(t)$$

$$m \ddot{u}(t) + c \dot{u}(t) + k u(t) = -m \ddot{u}_g(t)$$

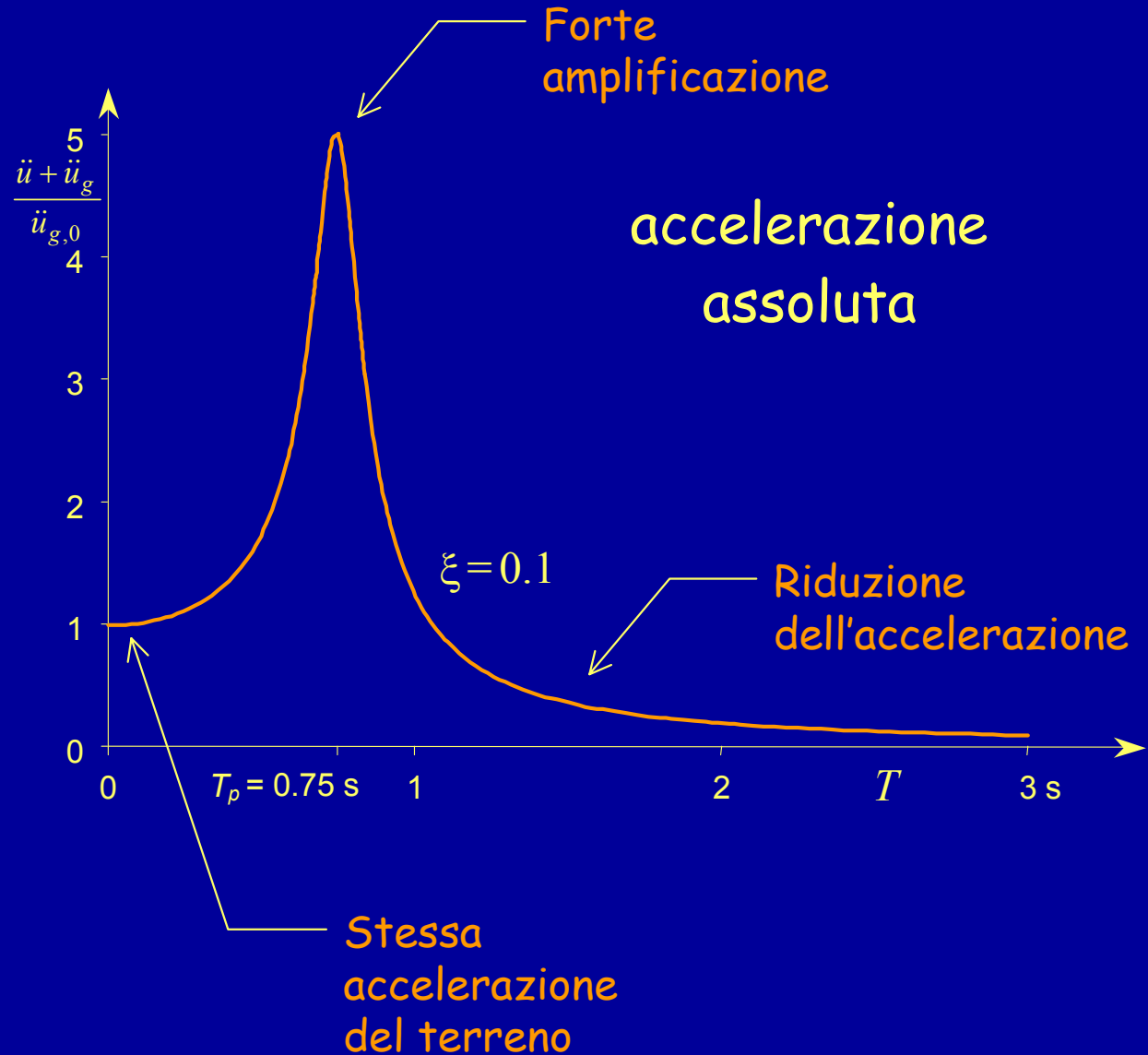
Cambia (formalmente)  
il termine noto  
nell'equazione del moto

Il problema è sostanzialmente  
identico a quello del moto con  
forzante applicata al traverso

# Oscillazioni forzate (moto del terreno)



Si noti, in particolare,  
l'andamento  
dell'accelerazione  
massima in funzione  
del periodo proprio



# Relazione tra i valori massimi di spostamento relativo e accelerazione assoluta

Equazione del moto:

$$m \ddot{u} + c \dot{u} + k u = -m \ddot{u}_g$$

Quando lo spostamento relativo  $u$   
è massimo la sua derivata è nulla

$$u = u_{\max} \quad \Rightarrow \quad \dot{u} = 0$$

Si ha allora:

$$m \ddot{u} + k u_{\max} = -m \ddot{u}_g$$

$$k u_{\max} = -m (\ddot{u} + \ddot{u}_g)$$

$$\left| \ddot{u} + \ddot{u}_g \right|_{\max} = \frac{k}{m} u_{\max} = \left( \frac{2 \pi}{T} \right)^2 u_{\max} \quad \text{perché} \quad T = 2 \pi \sqrt{\frac{m}{k}}$$

# Relazione tra i valori massimi di spostamento relativo e accelerazione assoluta

La quantità  $\left(\frac{2\pi}{T}\right)^2 u_{\max}$   
viene detta pseudoaccelerazione

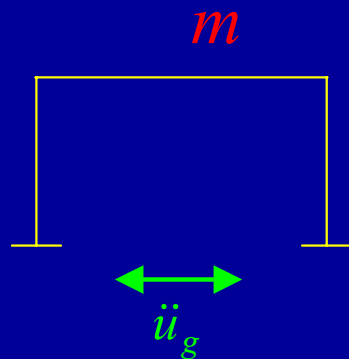
Essa coincide con l'accelerazione  
assoluta quando lo smorzamento  
è nullo

L'accelerazione assoluta massima e la pseudoaccelerazione massima  
a rigore sono diverse, ma in sostanza sono praticamente coincidenti

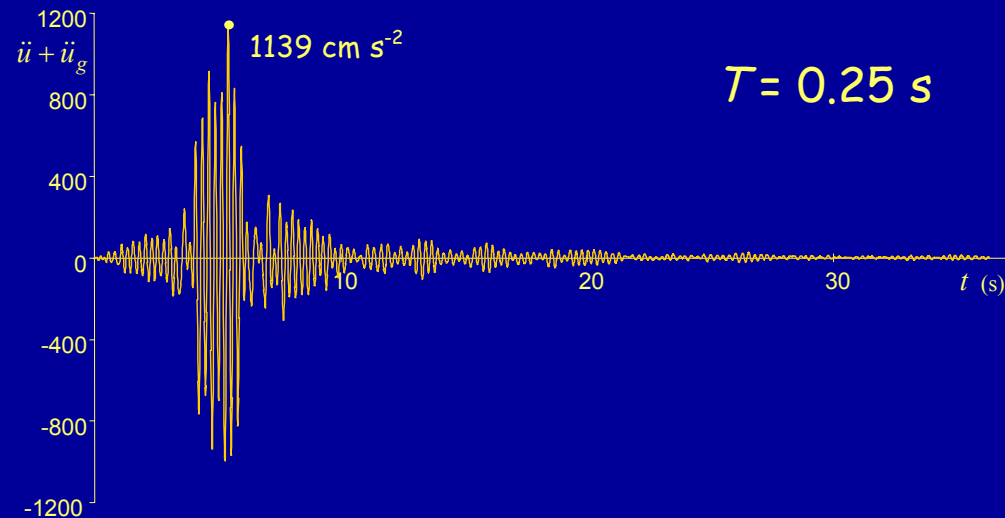
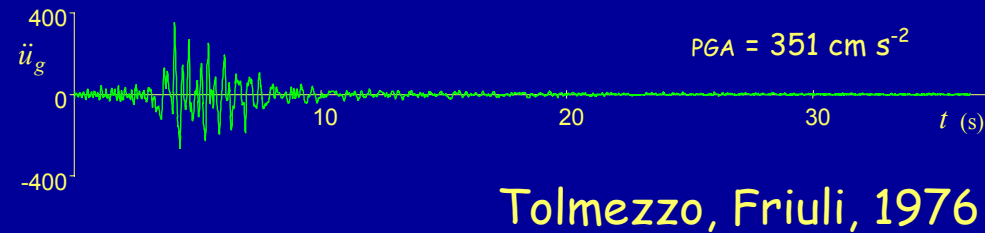
La relazione  $|\ddot{u} + \ddot{u}_g| = \left(\frac{2\pi}{T}\right)^2 u$

consente di passare dai valori massimi dello spostamento a quelli  
massimi dell'accelerazione assoluta, e viceversa

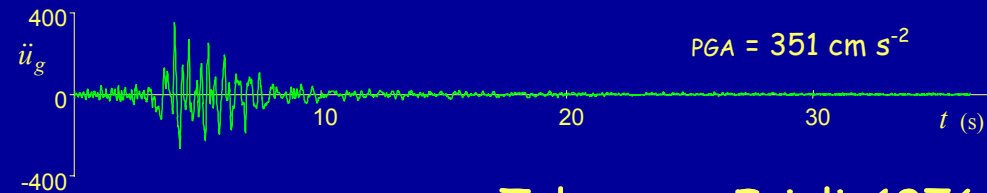
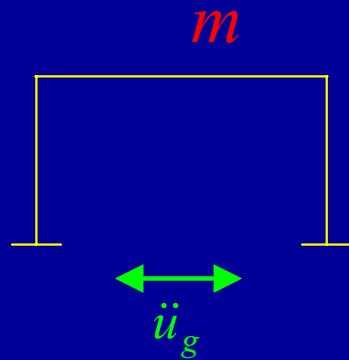
# Oscillazioni forzate (moto del terreno - accelerogramma)



Concettualmente  
analogo  
(ma più complesso  
numericamente)  
è determinare  
la risposta ad un  
accelerogramma

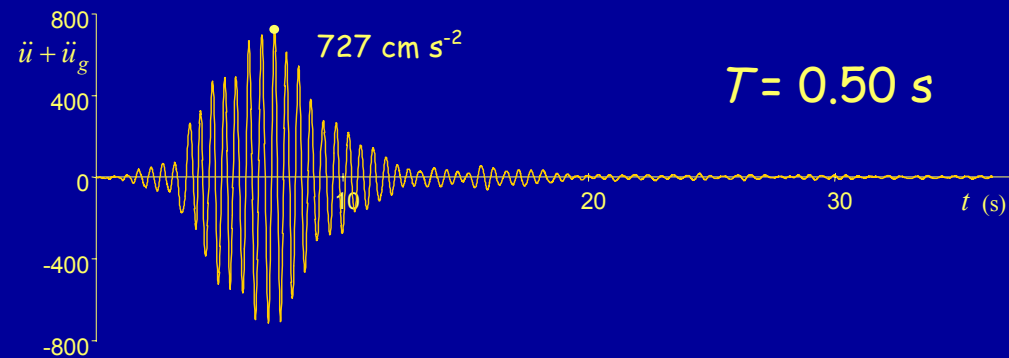


# Oscillazioni forzate (moto del terreno - accelerogramma)

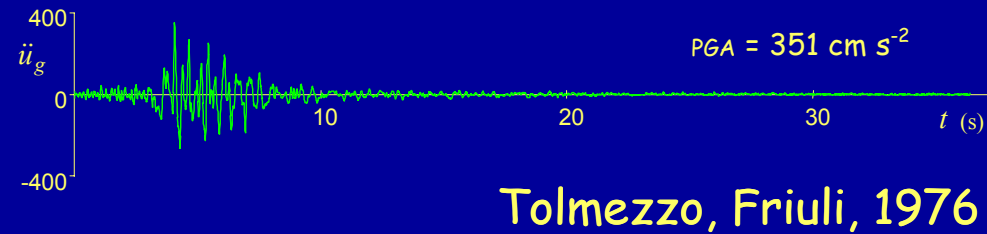
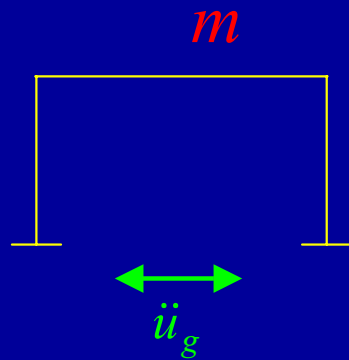


Tolmezzo, Friuli, 1976

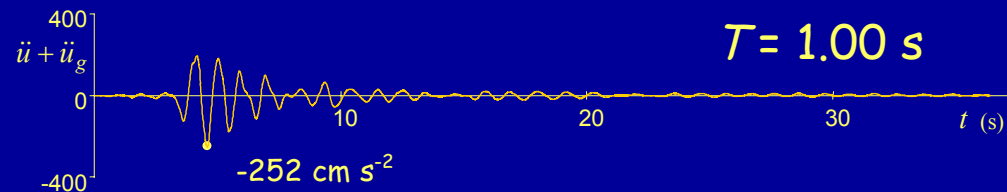
Cambiando il periodo  
dell'oscillatore,  
cambia la risposta



# Oscillazioni forzate (moto del terreno - accelerogramma)



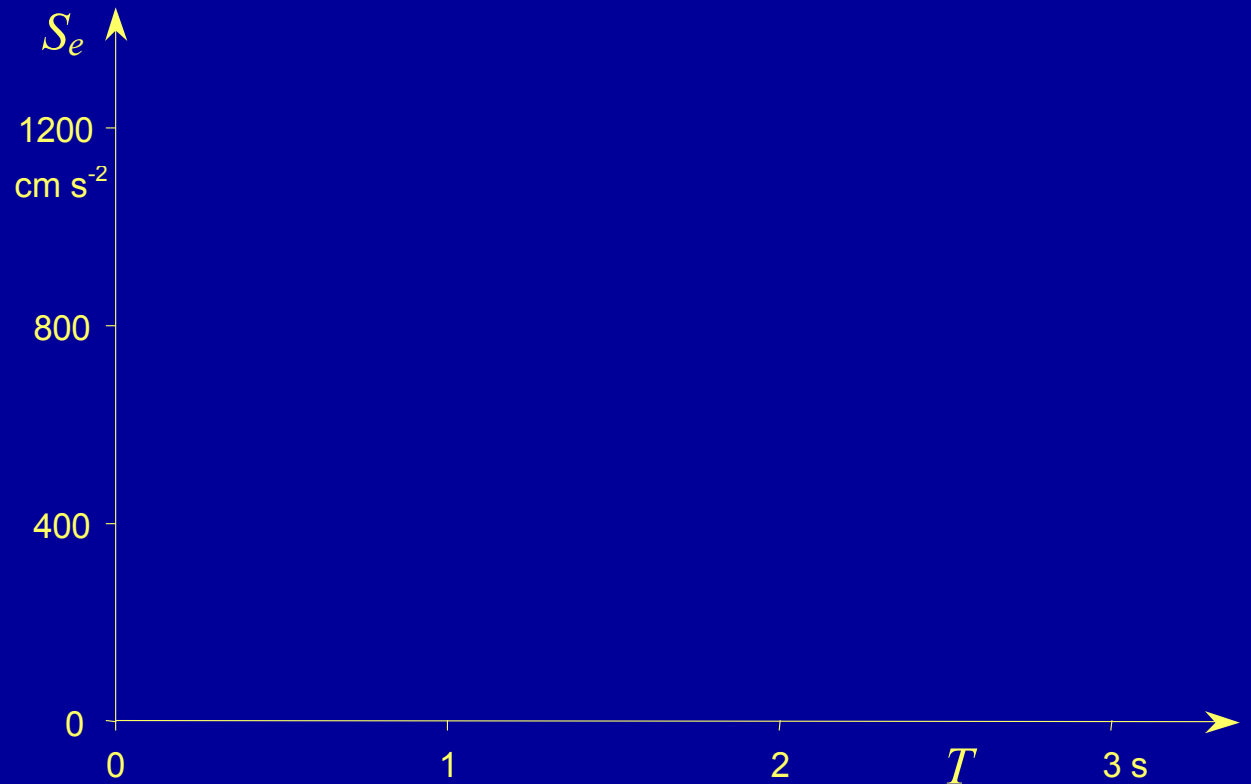
Cambiando il periodo  
dell'oscillatore,  
cambia la risposta



# Oscillazioni forzate

(moto del terreno - accelerogramma)

Si può diagrammare,  
per punti, il valore  
dell'accelerazione  
massima

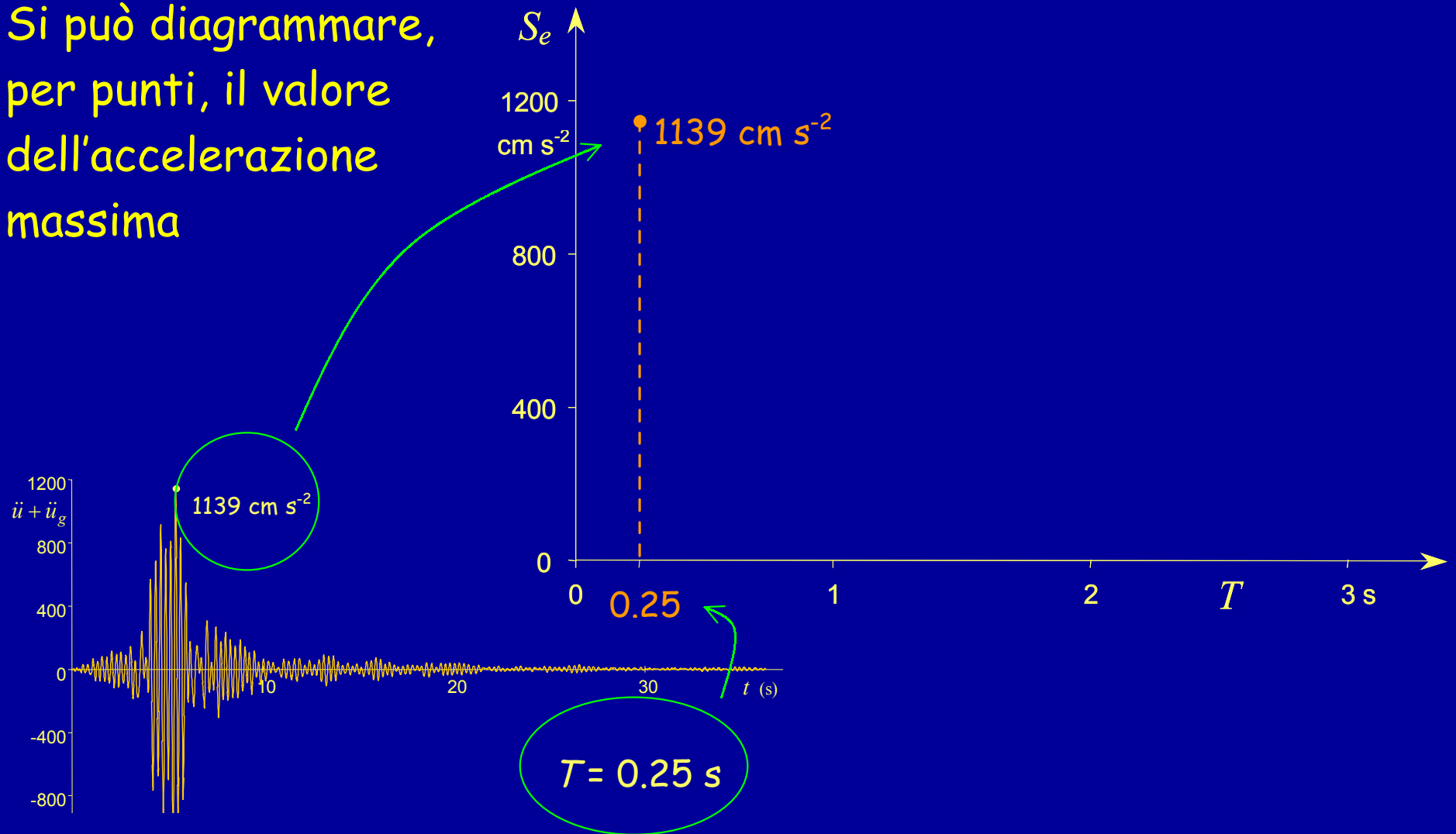




# Oscillazioni forzate

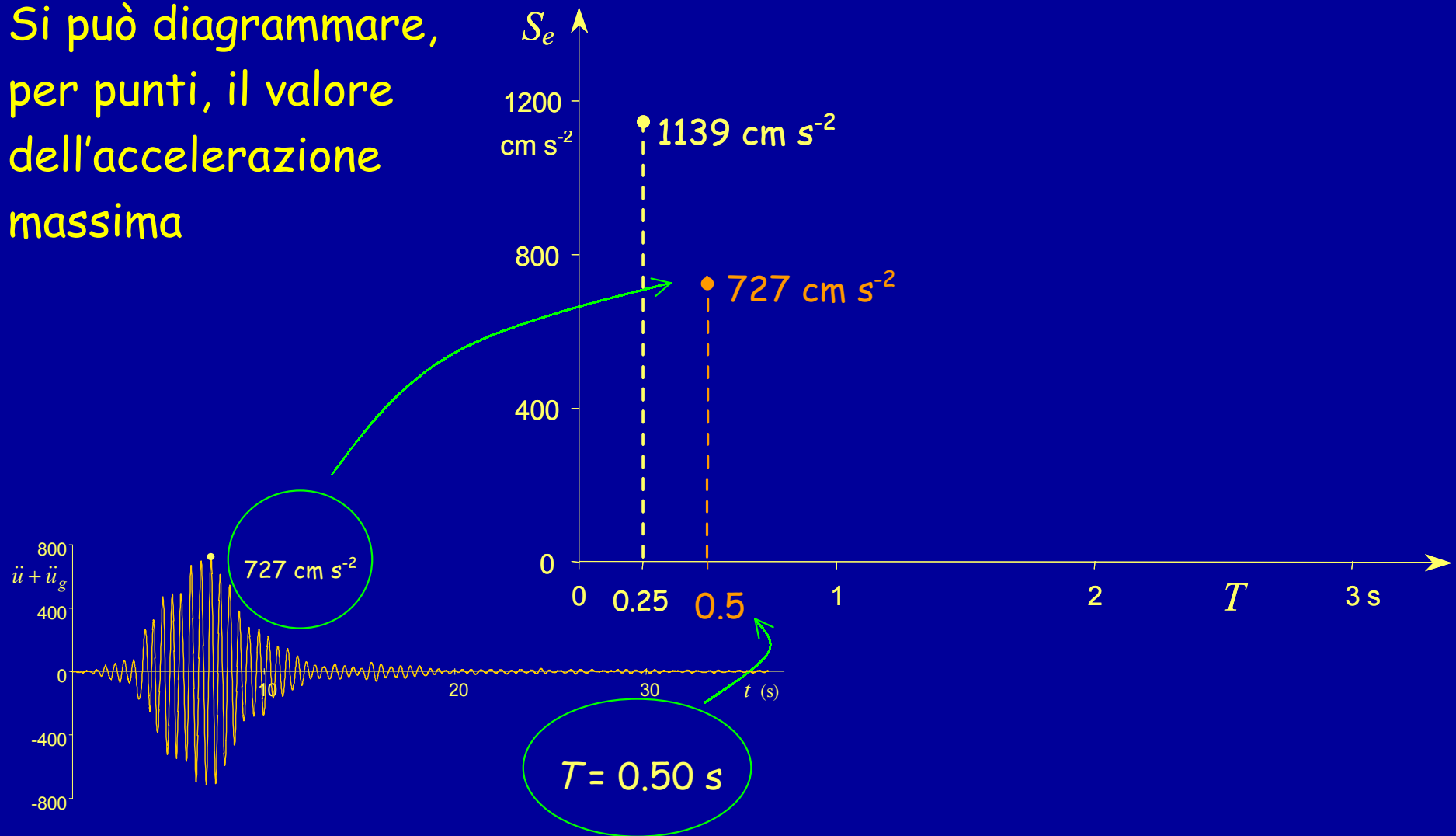
(moto del terreno - accelerogramma)

Si può diagrammare, per punti, il valore dell'accelerazione massima



# Oscillazioni forzate (moto del terreno - accelerogramma)

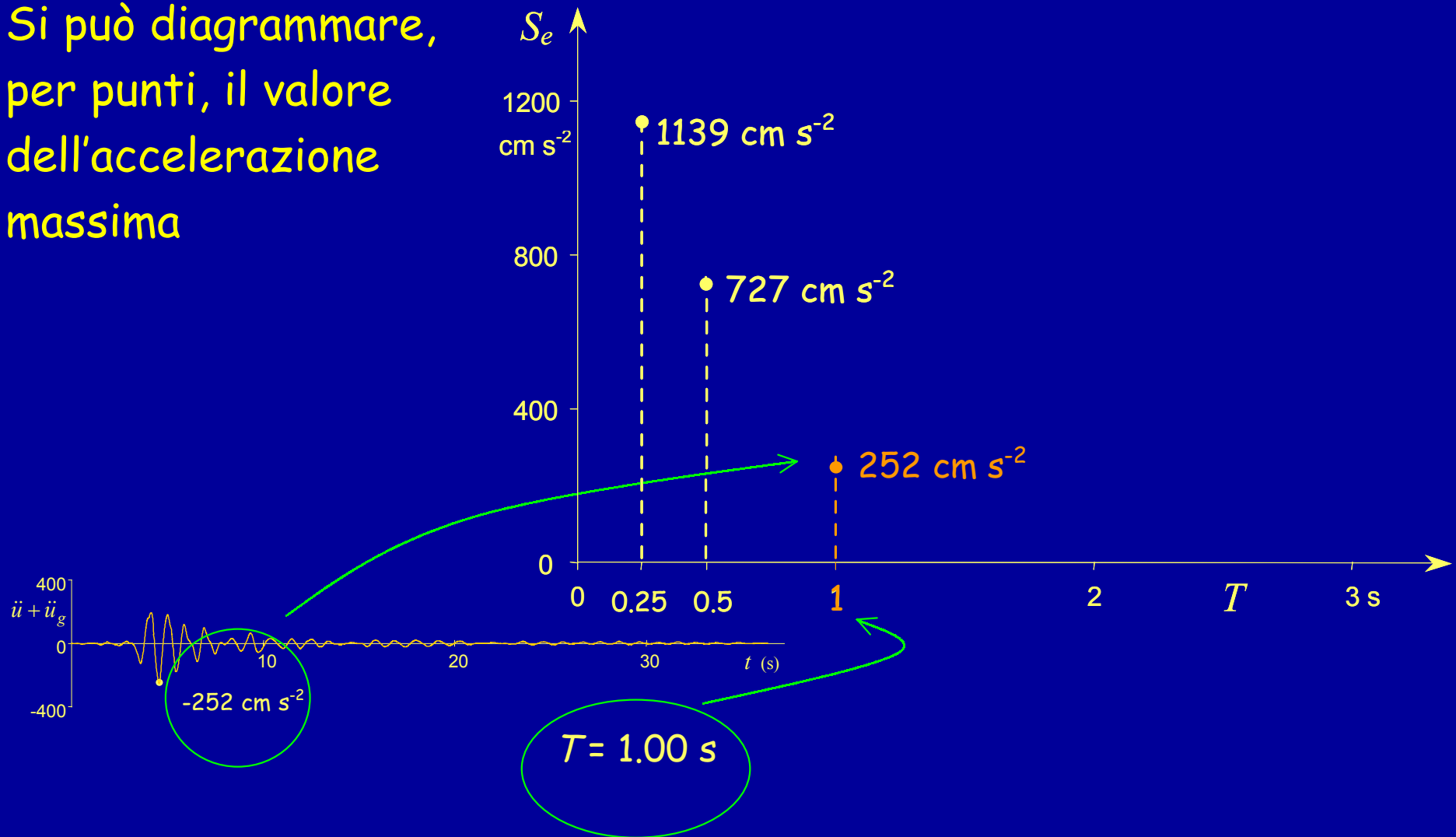
Si può diagrammare,  
per punti, il valore  
dell'accelerazione  
massima



# Oscillazioni forzate

(moto del terreno - accelerogramma)

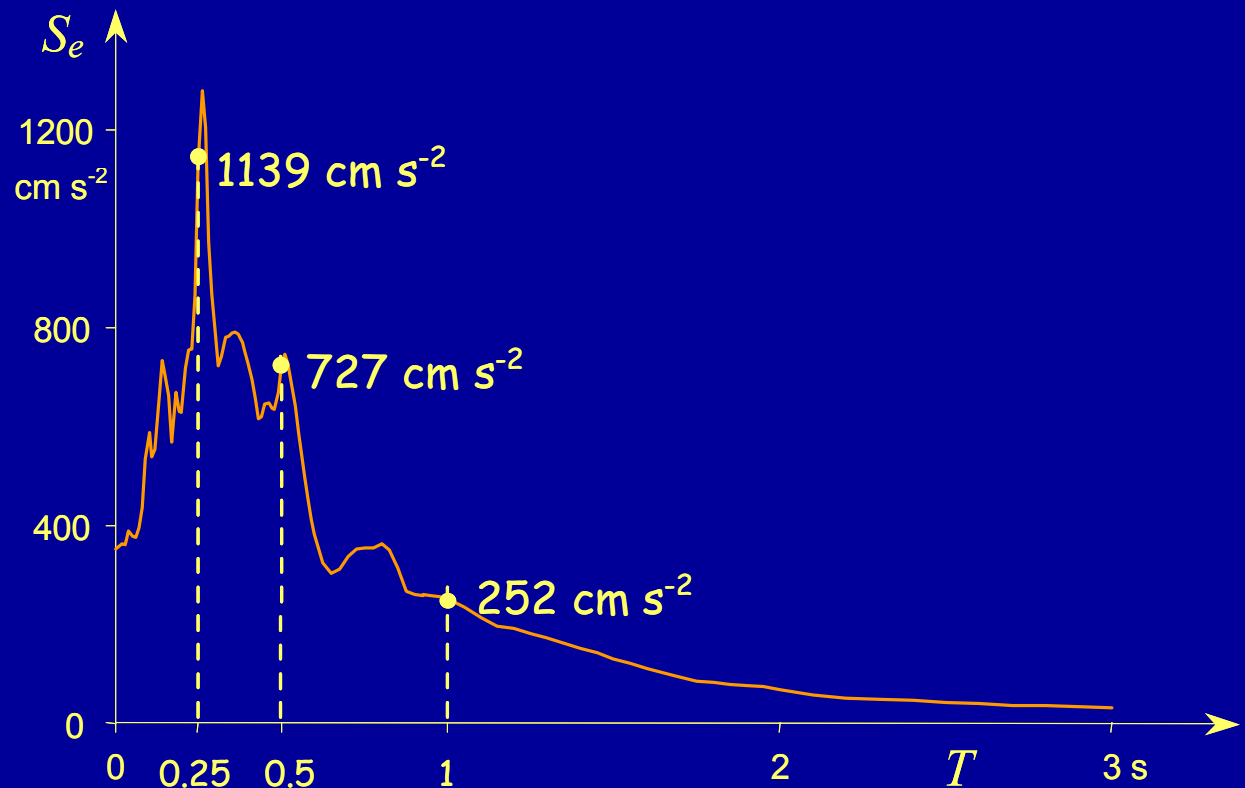
Si può diagrammare, per punti, il valore dell'accelerazione massima



# Oscillazioni forzate

## Spettro di risposta

Si può diagrammare, per punti, il valore dell'accelerazione massima

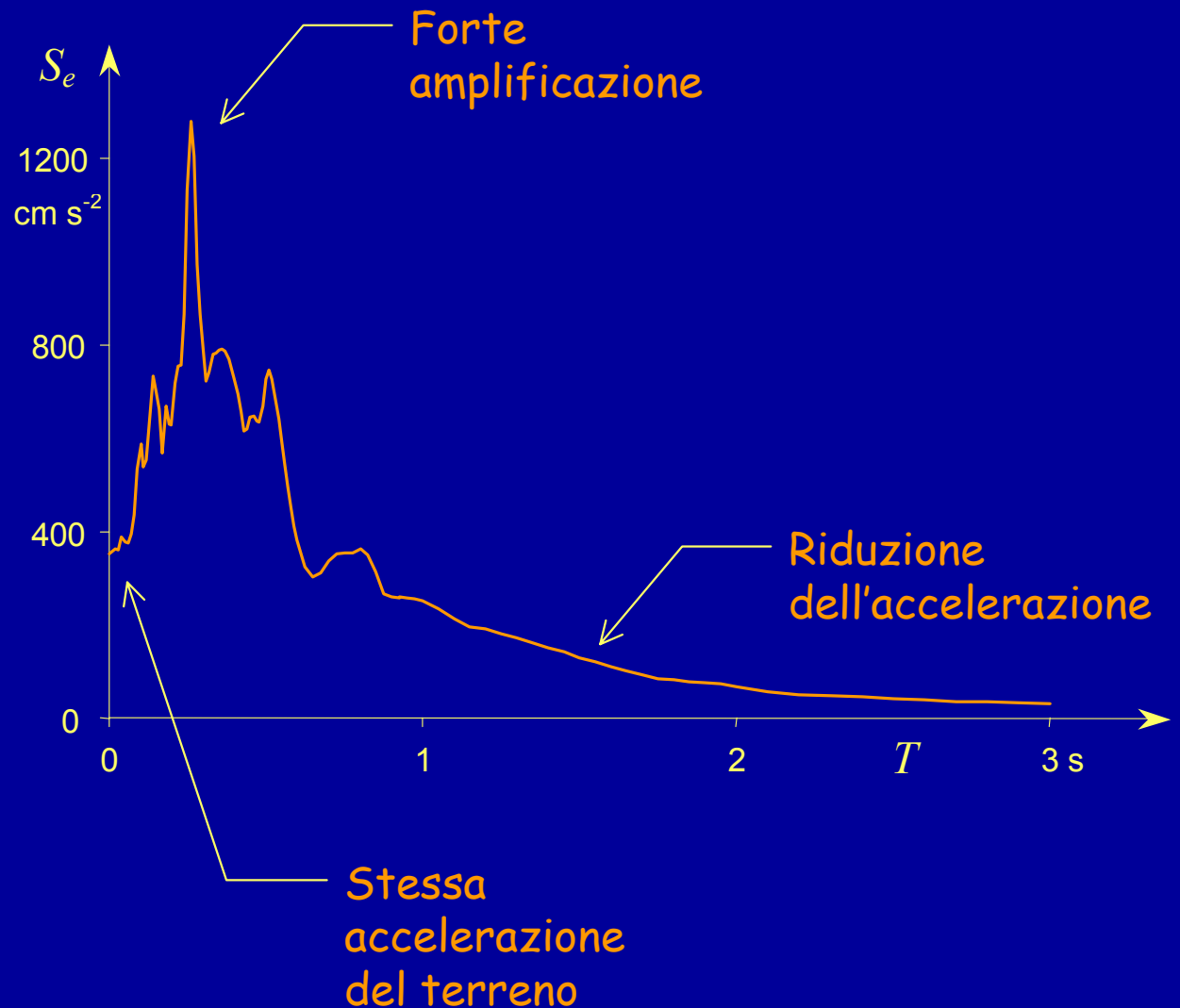


Il diagramma ottenuto unendo i vari punti viene detto "spettro di risposta" (in termini di accelerazione)

# Oscillazioni forzate

## Spettro di risposta (accelerazione)

L'andamento dell'accelerazione massima in funzione del periodo proprio è analogo a quanto visto per moto del terreno armonico



# Oscillazioni forzate

## Spettro di risposta (accelerazione)

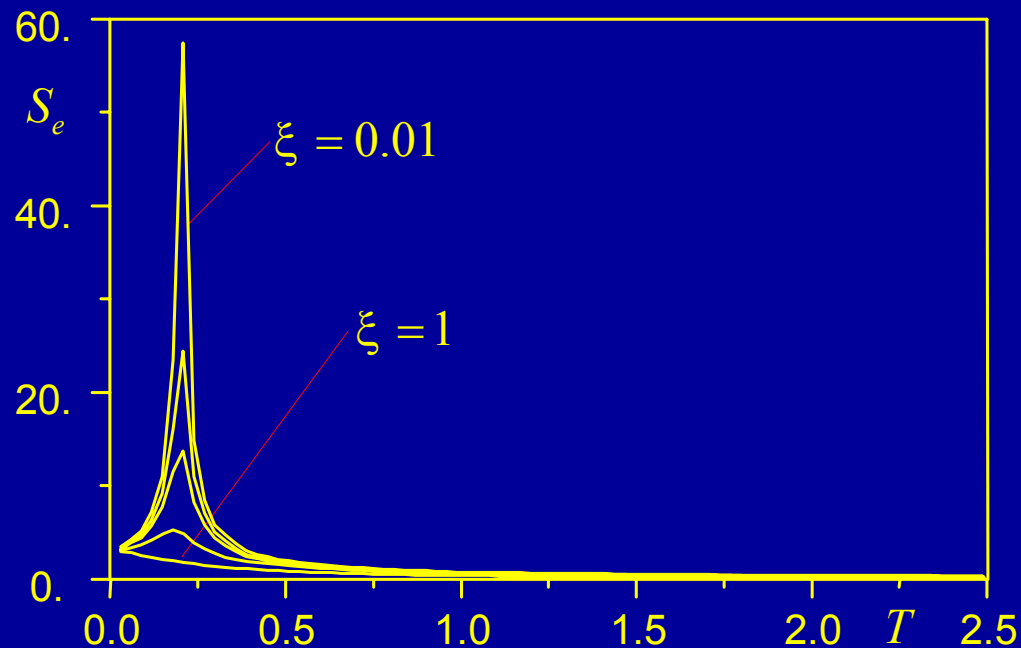
Al variare dello smorzamento si ottengono diverse curve



L'accelerazione massima nel sistema è maggiore quando lo smorzamento è minore

## Spettro di risposta (accelerazione armonica)

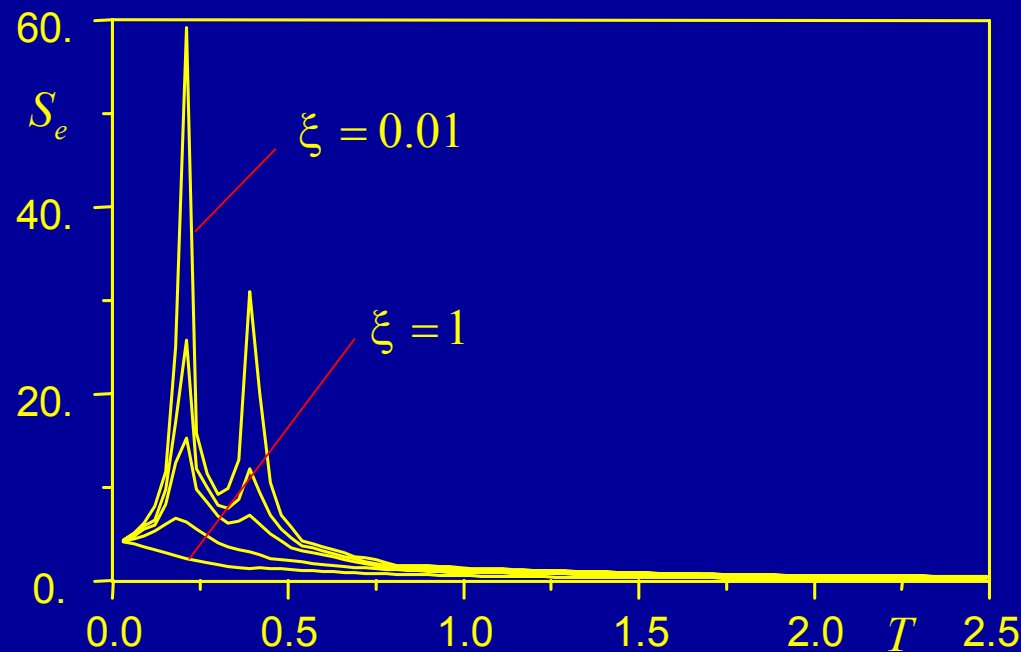
$$\ddot{u}_g(t) = \ddot{u}_0 \sin(\omega_g t) \quad \ddot{u}_0 = 3.0 \left[ m/sec^2 \right] \quad T_g = \frac{2\pi}{\omega_g} = 0.2 \text{ [sec]}$$



Sono maggiormente sollecitati gli oscillatori con periodo prossimo a quello dell'accelerazione

## Spettro di risposta (accelerazione armonica)

$$\ddot{u}_g(t) = \ddot{u}_{0,1} \text{sen}(\omega_{g,1}t) + \ddot{u}_{0,2} \text{sen}(\omega_{g,2}t) \quad T_{g,1} = 0.2 \text{ [sec]} \quad T_{g,2} = 0.4 \text{ [sec]}$$



Un accelerogramma reale può essere inteso  
come la somma di infinite armoniche

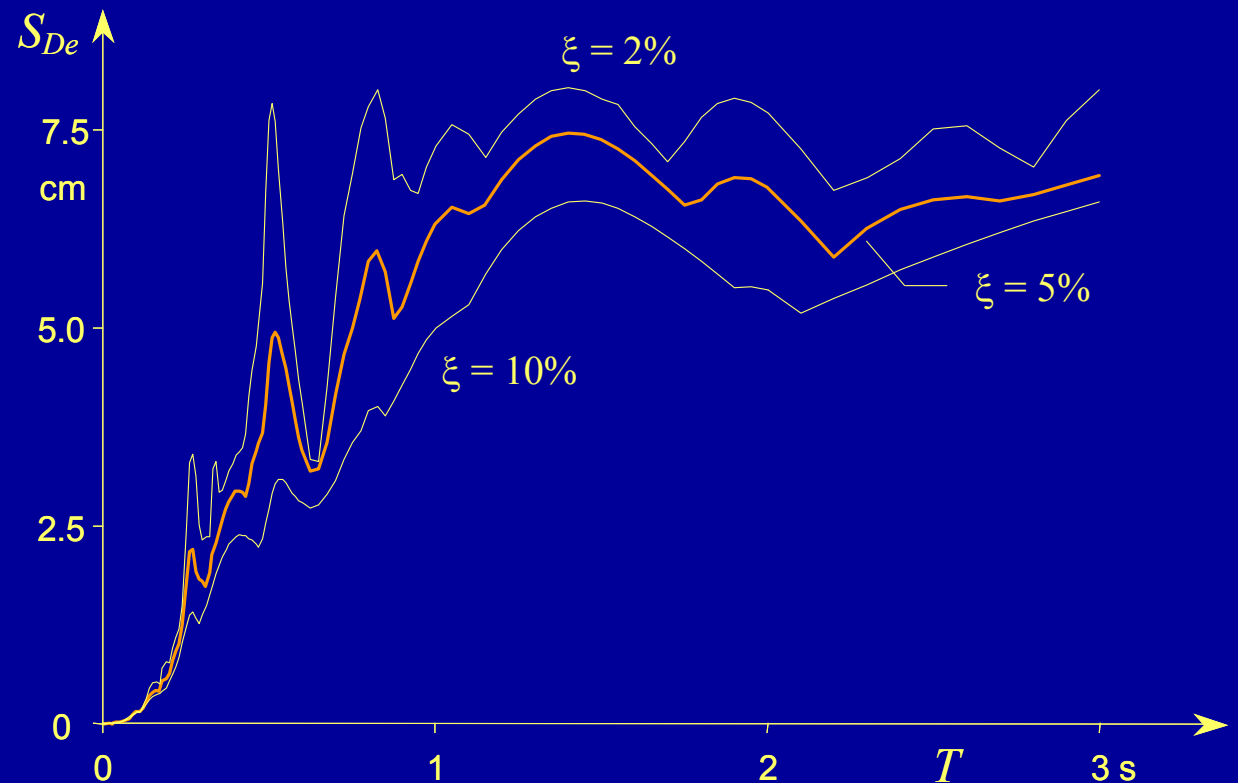
$$\ddot{u}_g(t) = \sum_{i=1}^{\infty} \ddot{u}_i \text{sen}(\omega_i t)$$



# Oscillazioni forzate

## Spettro di risposta (spostamento)

Allo stesso modo si può diagrammare lo spostamento relativo massimo in funzione del periodo



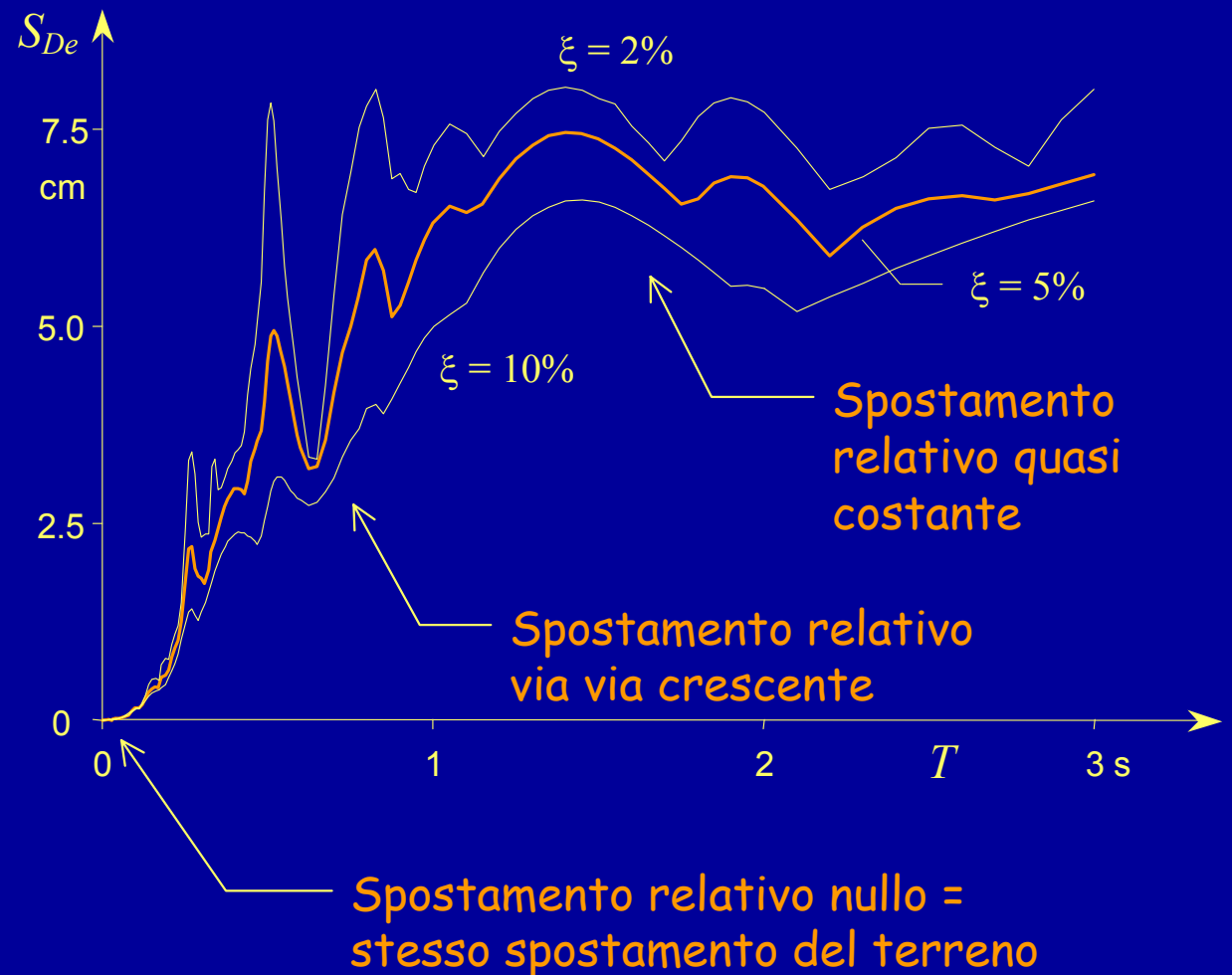
Il diagramma così ottenuto viene detto "spettro di risposta" (in termini di spostamento)

# Oscillazioni forzate

## Spettro di risposta (spostamento)

Si noti l'andamento dello spostamento relativo massima in funzione del periodo proprio

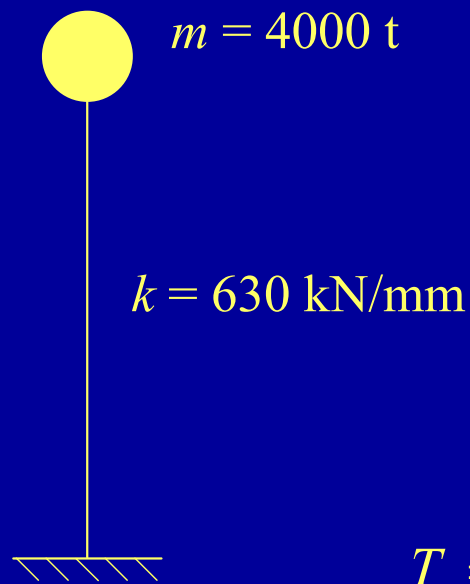
Lo spostamento massimo nel sistema è maggiore quando lo smorzamento è minore



# A cosa servono gli spettri?



Foto



Modello  
di calcolo

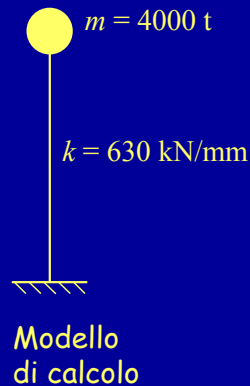
Conoscendo  
massa e rigidezza  
possiamo  
determinare il  
periodo proprio

$$\begin{aligned} T &= 2 \pi \sqrt{\frac{m}{k}} = \\ &= 2 \times 3.14 \times \sqrt{\frac{4000 \times 10^3}{630 \times 10^6}} = \\ &= 0.5 \text{ s} \end{aligned}$$

# A cosa servono gli spettri?

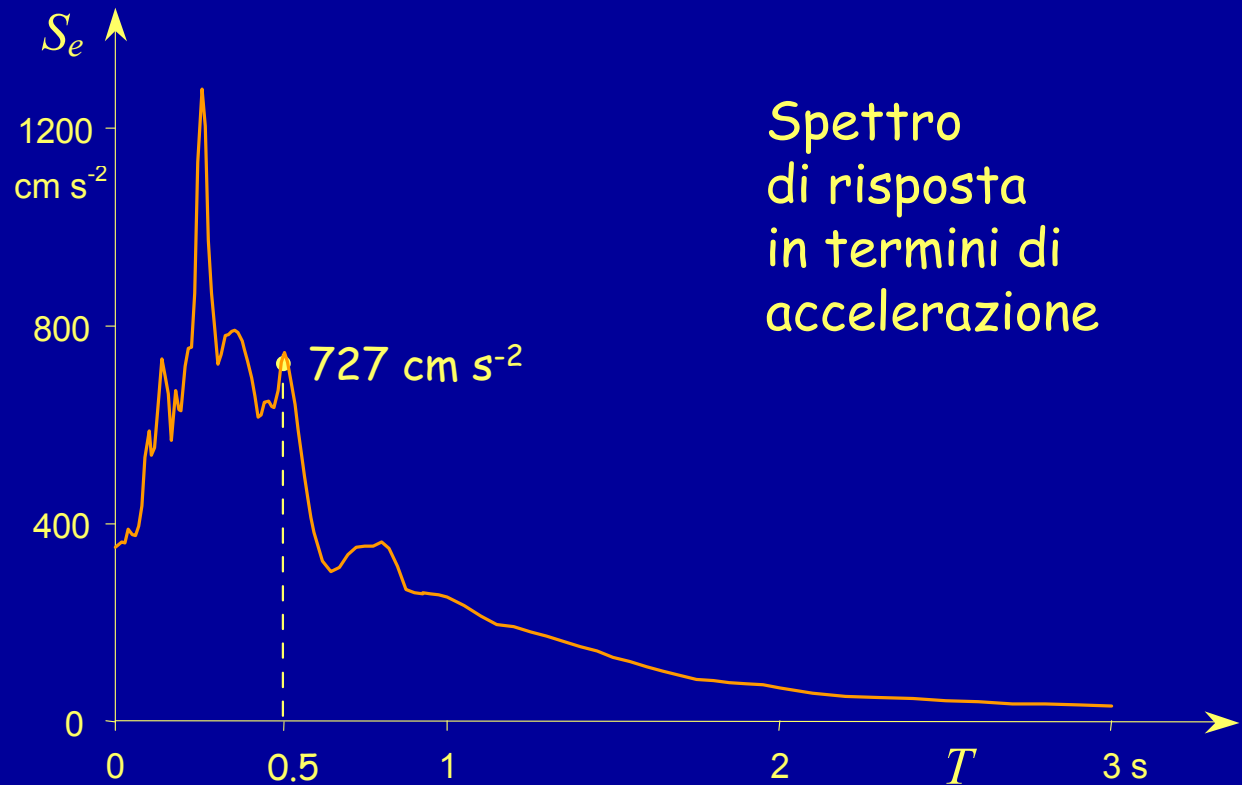


Foto



Modello di calcolo

$$T = 0.5 \text{ s}$$



Spettro di risposta in termini di accelerazione

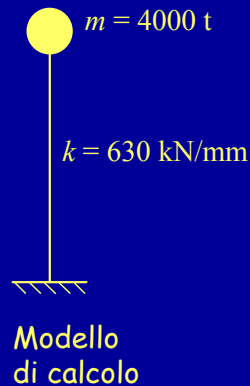
Nota il periodo proprio, possiamo leggere dallo spettro l'accelerazione assoluta massima

$$a_{\max} = 7.27 \text{ m s}^{-2} = 0.74 \text{ g}$$

# A cosa servono gli spettri?



Foto



$$T = 0.5 \text{ s}$$



Nota il periodo proprio, possiamo leggere dallo spettro l'accelerazione assoluta massima o lo spostamento relativo massimo

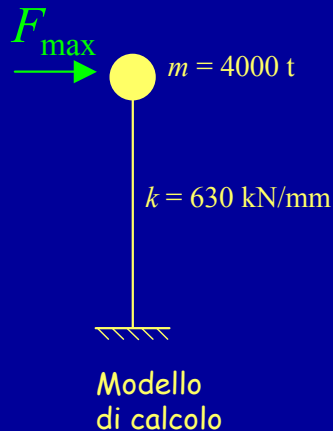
$$a_{\max} = 7.27 \text{ m s}^{-2} = 0.74 \text{ g}$$

$$u_{\max} = 4.58 \text{ cm}$$

# A cosa servono gli spettri?



Foto



Ma dall'accelerazione possiamo ricavare anche la massima forza d'inerzia

$$F_{\max} = m a_{\max} = 4000 \times 7.27 = 2900 \text{ kN}$$

e quindi le massime sollecitazioni nella struttura

$$T = 0.5 \text{ s}$$

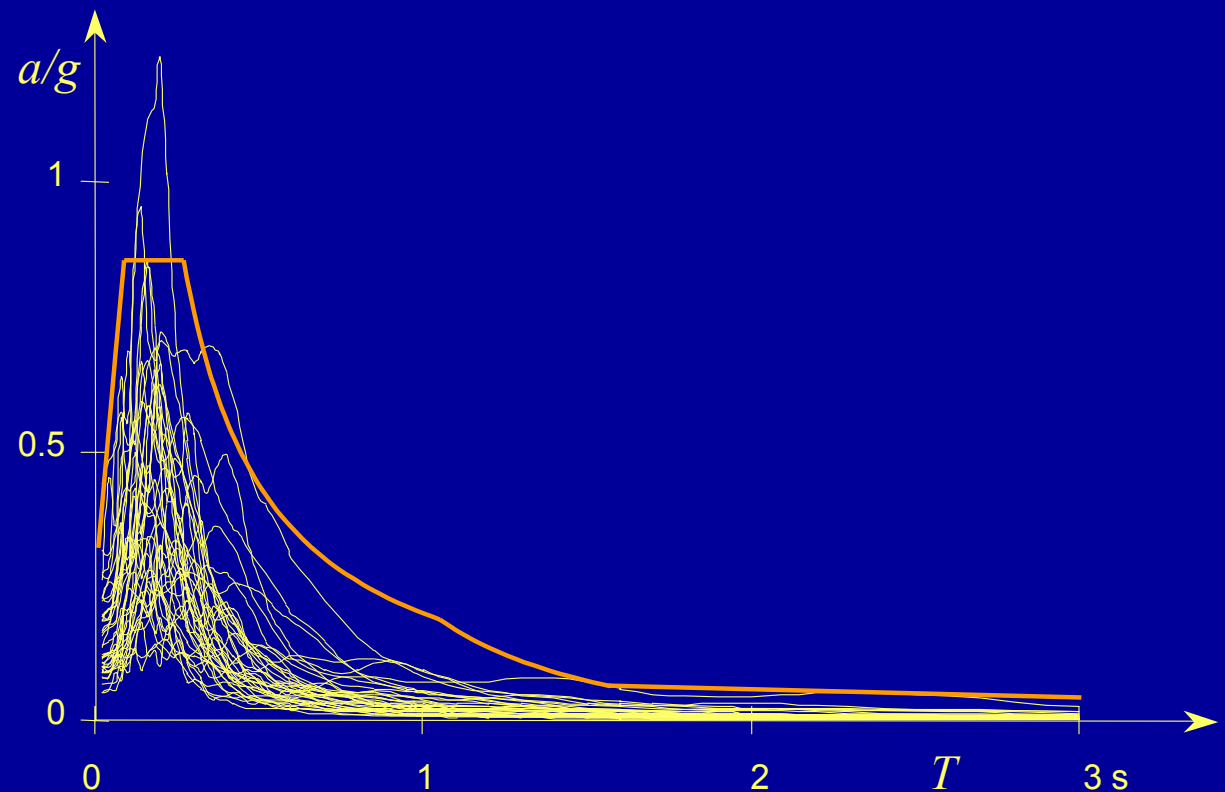
Nota il periodo proprio, possiamo leggere dallo spettro l'accelerazione assoluta massima o lo spostamento relativo massimo

$$a_{\max} = 7.27 \text{ m s}^{-2} = 0.74 \text{ g}$$

$$u_{\max} = 4.58 \text{ cm}$$

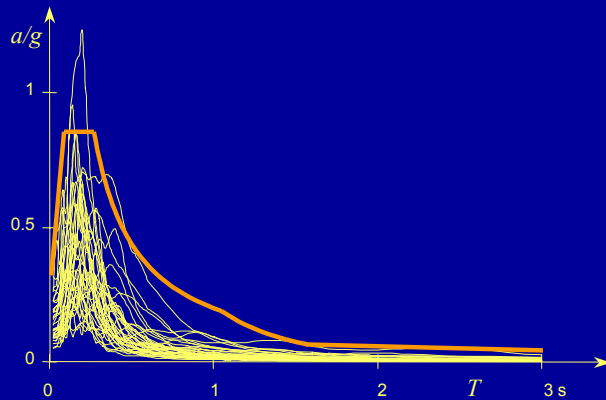
# Spettri di risposta

L'analisi può essere ripetuta per diversi accelerogrammi (con un assegnato smorzamento)

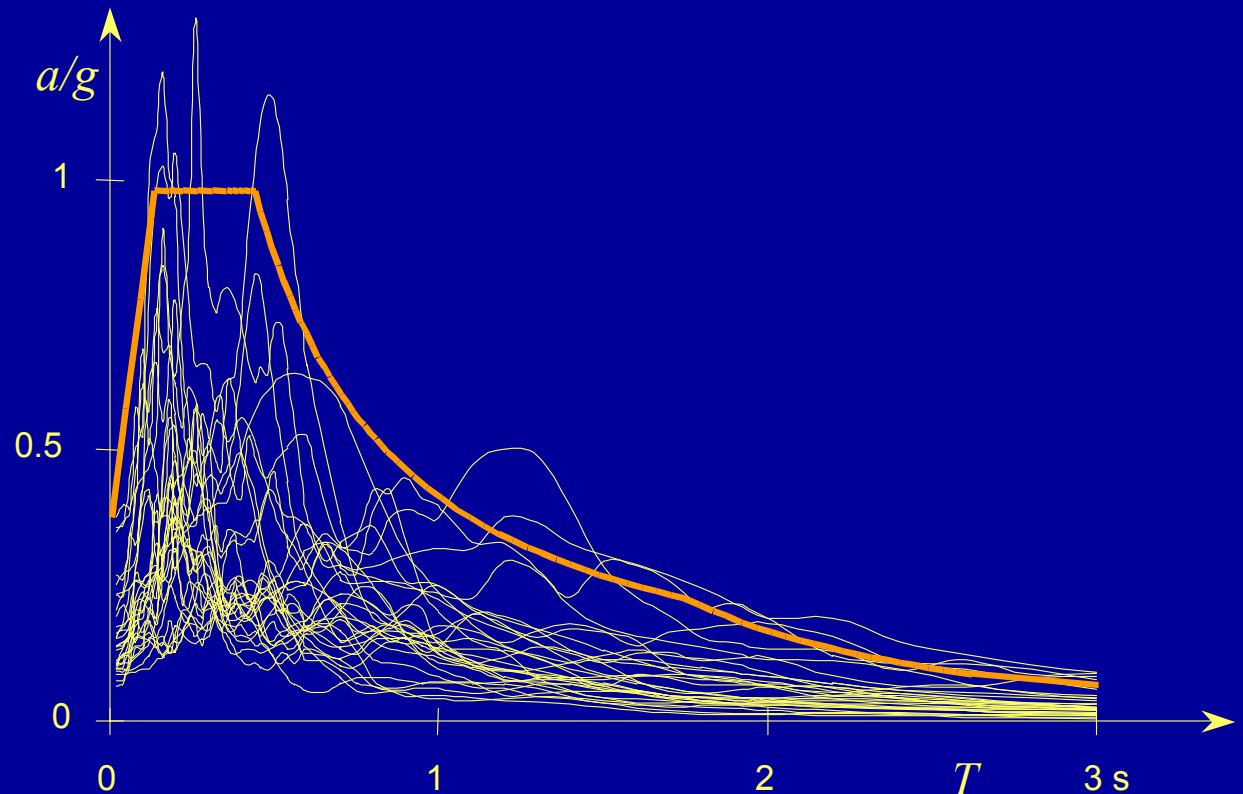


Si può quindi definire una curva che inviluppa tutti gli spettri di risposta, o che viene superata solo occasionalmente

# Spettri di risposta



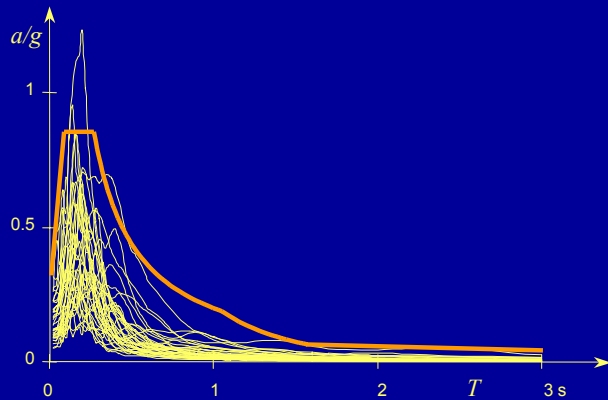
In zone differenti  
e su terreni  
differenti  
si otterranno  
risultati diversi



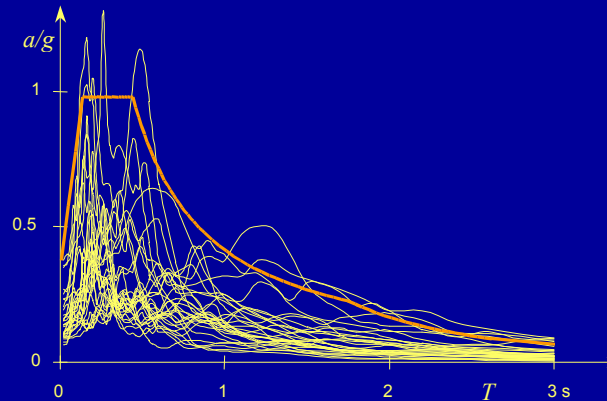
Si può quindi definire una curva che inviluppa tutti gli spettri di risposta, o che viene superata solo occasionalmente



# Spettri di risposta



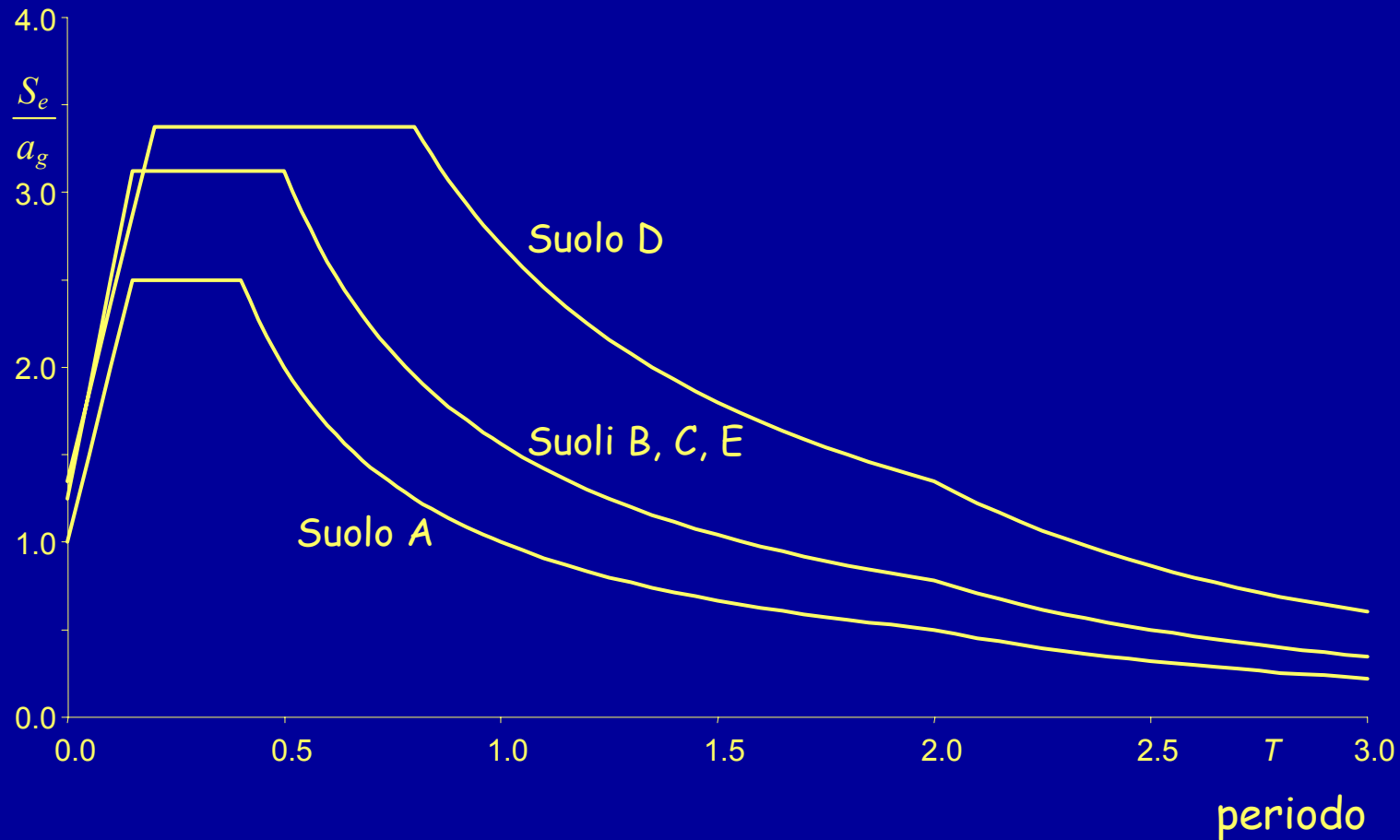
In zone differenti  
e su terreni  
differenti  
si otterranno  
risultati diversi



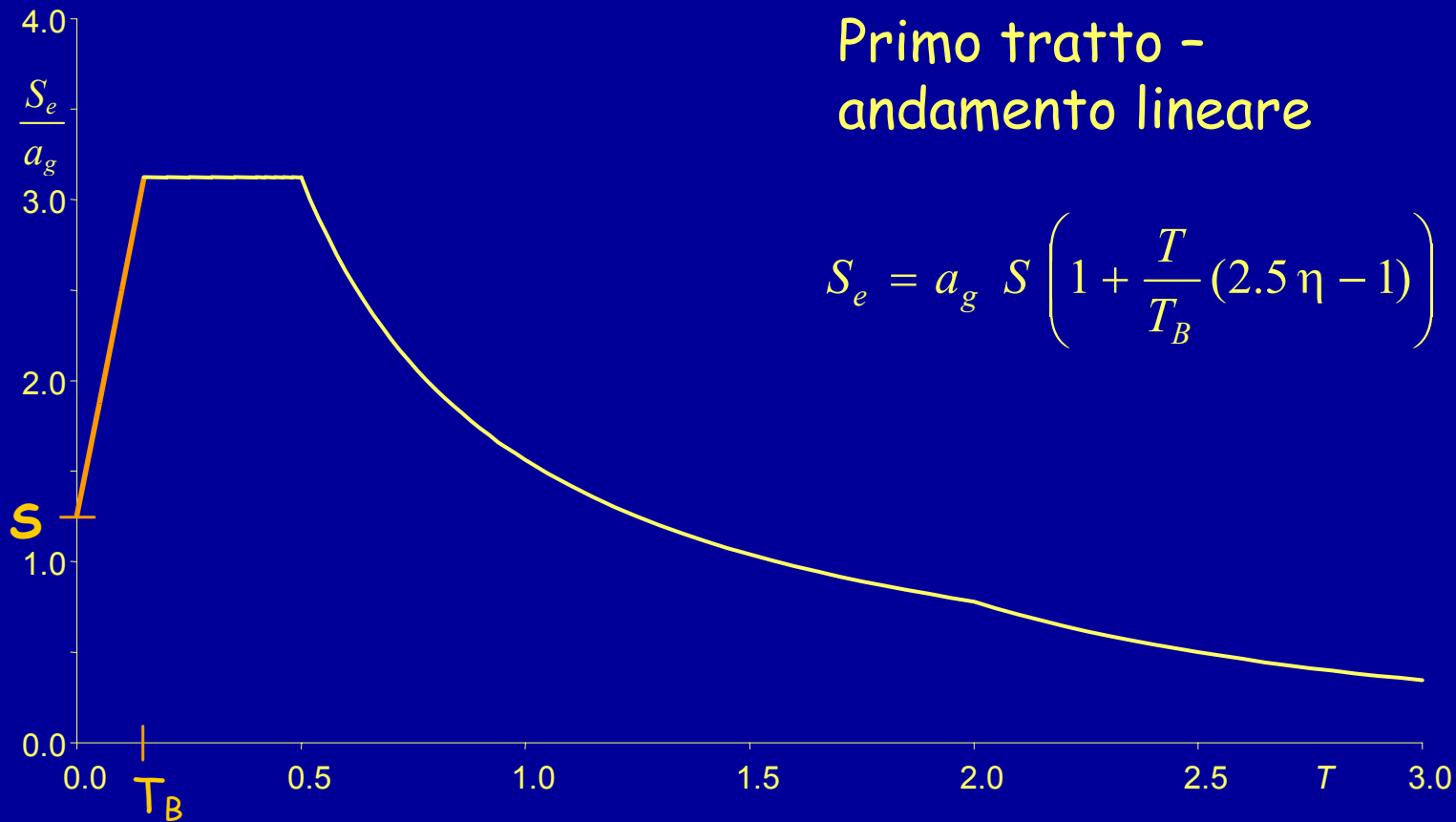
La normativa fornisce quindi spettri di  
risposta differenziati in funzione delle  
caratteristiche del suolo e della zona in  
cui è ubicata la struttura

# Spettri di risposta elastica di normativa

accelerazione (normalizzata)



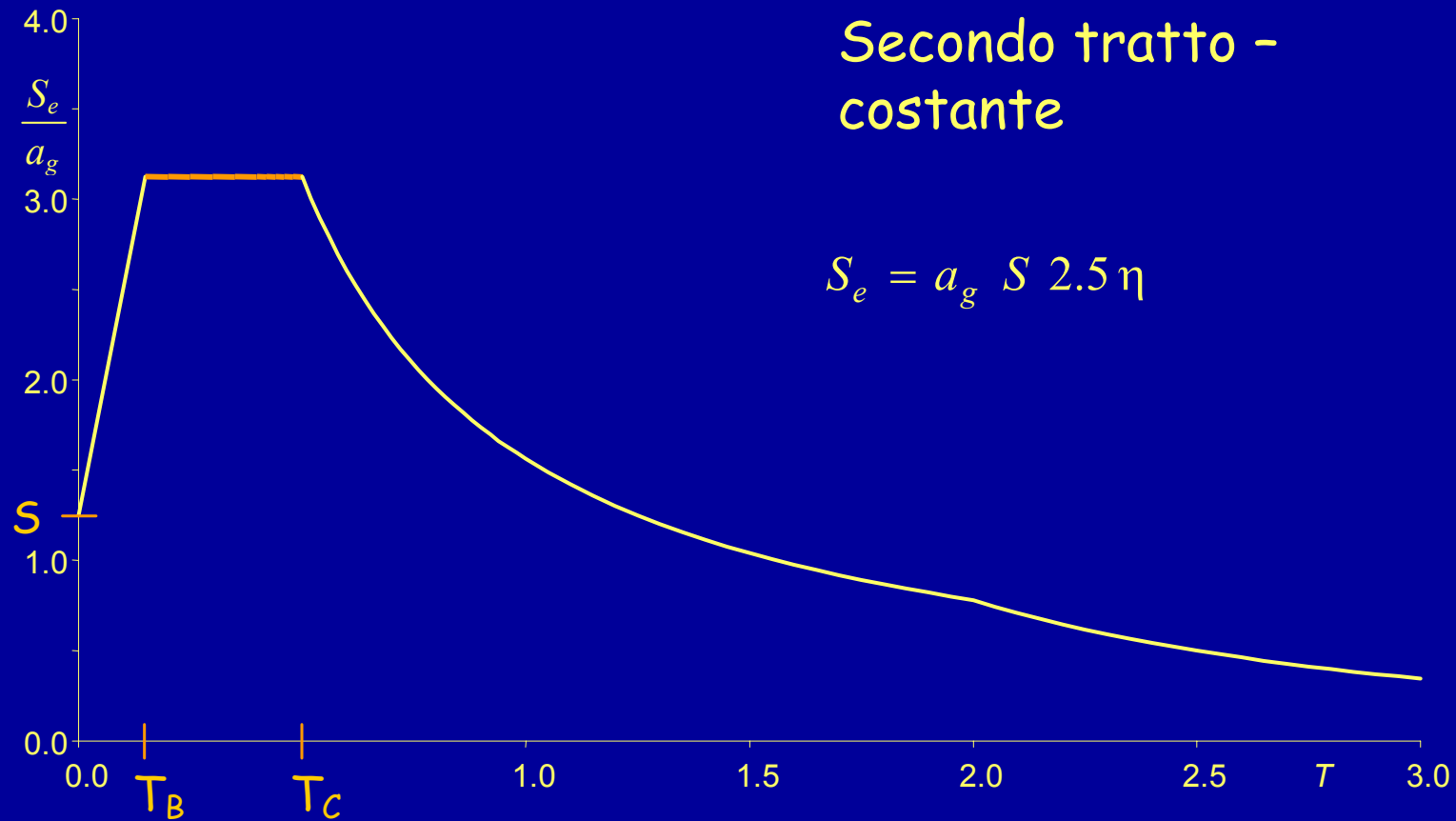
# Spettri di risposta elastica di normativa



Amplificazione, legata  
al tipo di terreno

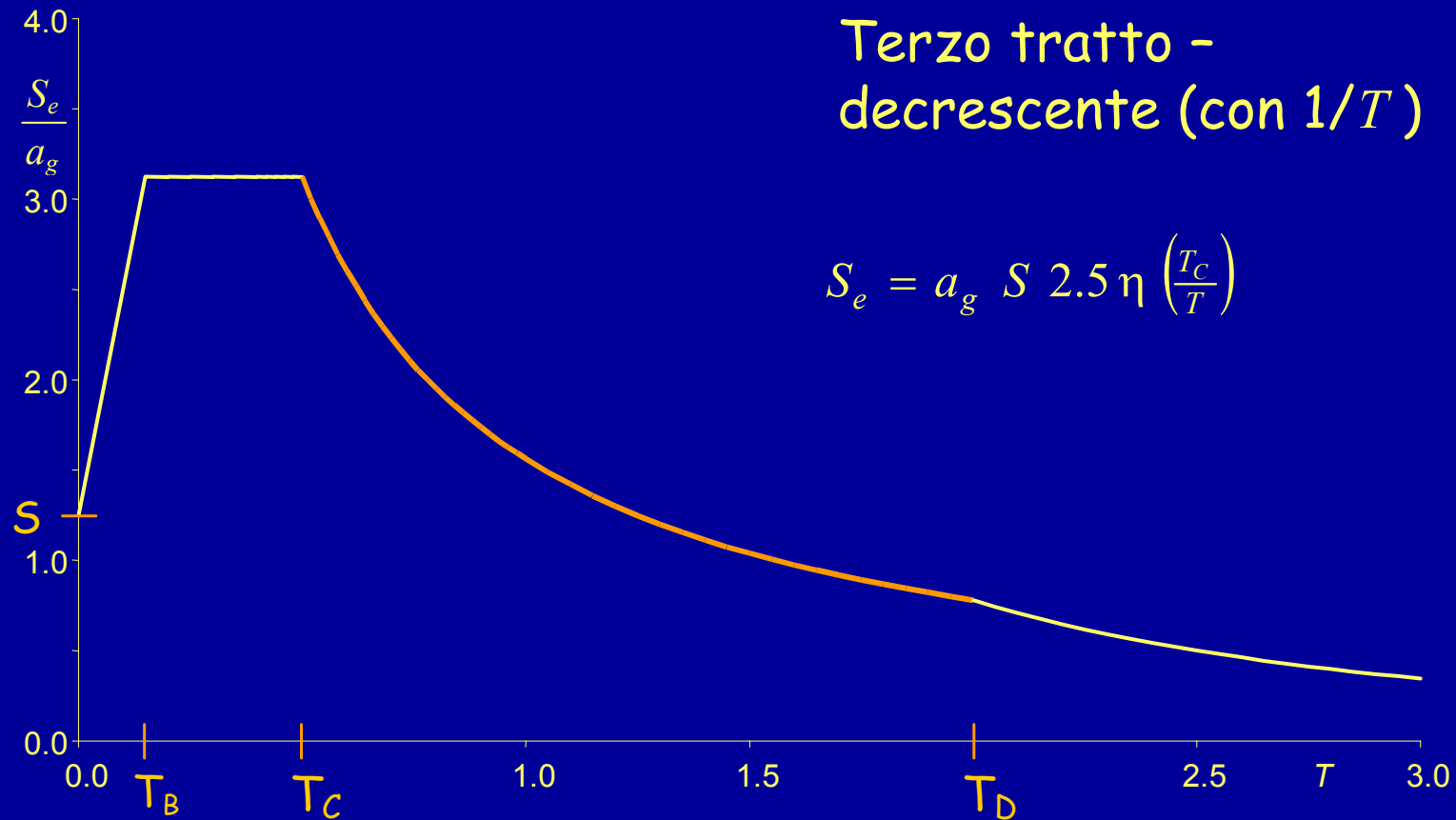
$$\eta = \sqrt{\frac{10}{5 + \xi}} \geq 0.55$$

# Spettri di risposta elastica di normativa



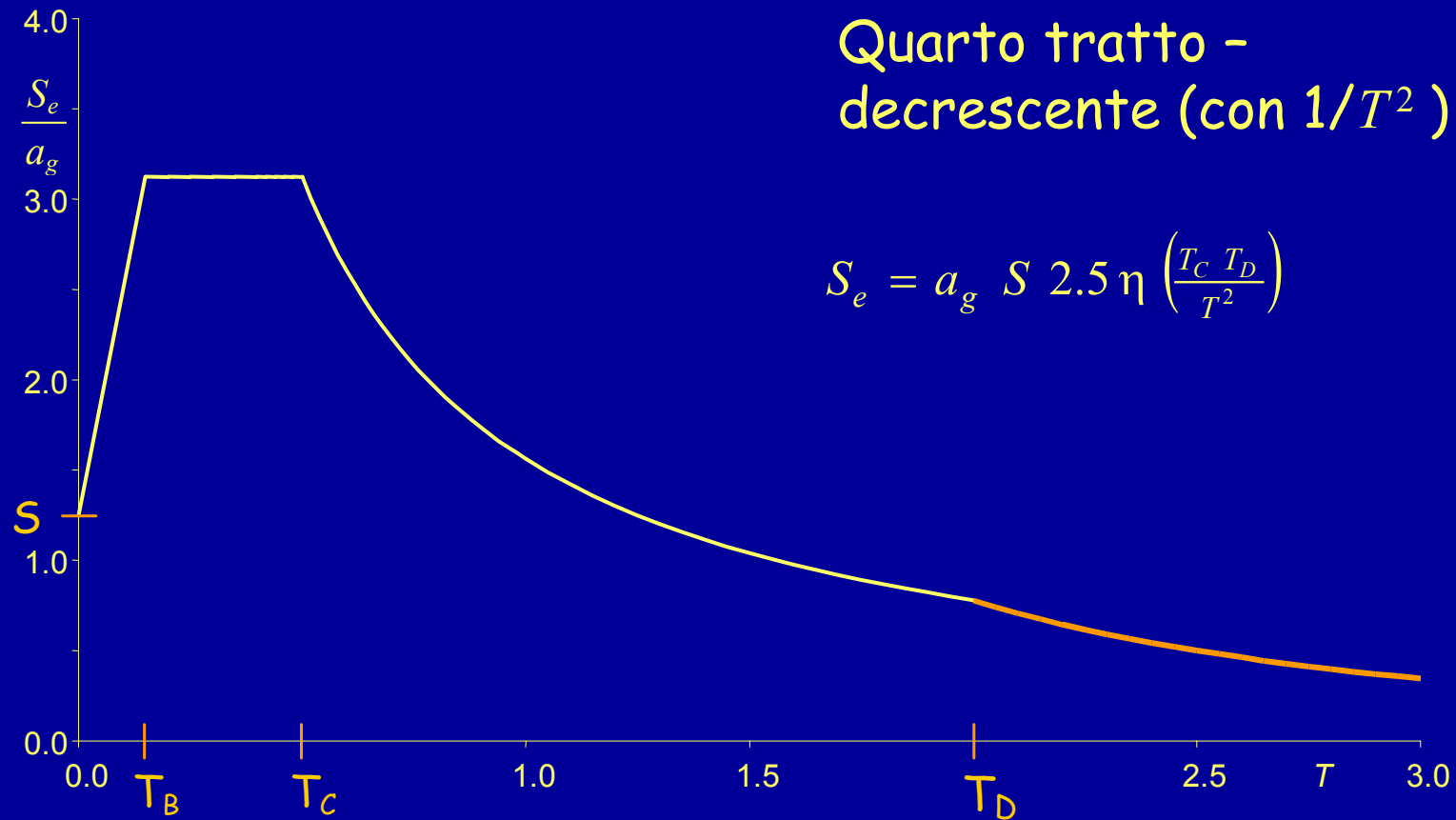
$$\eta = \sqrt{\frac{10}{5 + \xi}} \geq 0.55$$

# Spettri di risposta elastica di normativa



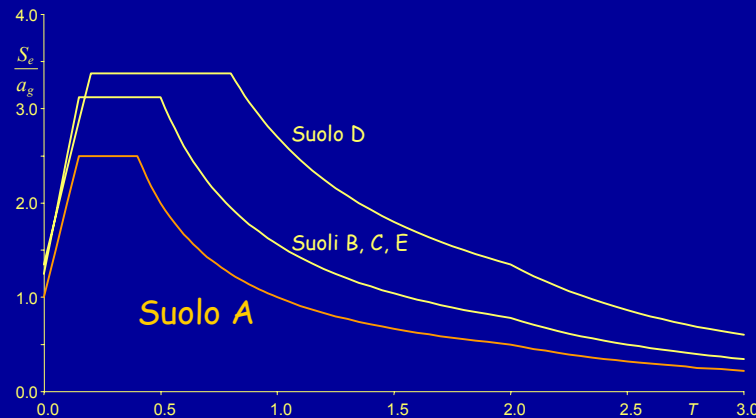
$$\eta = \sqrt{\frac{10}{5 + \xi}} \geq 0.55$$

# Spettri di risposta elastica di normativa



$$\eta = \sqrt{\frac{10}{5 + \xi}} \geq 0.55$$

# Spettri di risposta elastica di normativa



Suolo A

Formazioni litoidi o suoli omogenei molto rigidi

$$V_{S30} > 800 \text{ m/s}$$

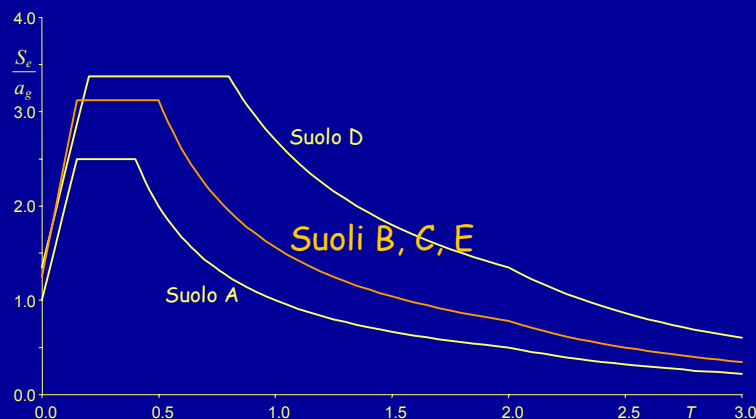
$$S = 1 \quad T_A = 0.15 \text{ s} \quad T_B = 0.4 \text{ s}$$

$V_{S30}$

Velocità media di propagazione delle onde di taglio nei 30 m superiori del suolo

$$V_{S30} = \frac{30}{\sum \frac{h_i}{V_{Si}}}$$

# Spettri di risposta elastica di normativa



$$S = 1.25 \quad T_A = 0.15 \text{ s} \quad T_B = 0.5 \text{ s}$$

$$V_{S30}$$

Velocità media di propagazione  
delle onde di taglio nei 30 m  
superiori del suolo

## Suolo B

Depositi di sabbie e ghiaie  
molto addensate o argille  
molto consistenti

$$360 \text{ m/s} < V_{S30} < 800 \text{ m/s}$$

Resistenza penetrometrica

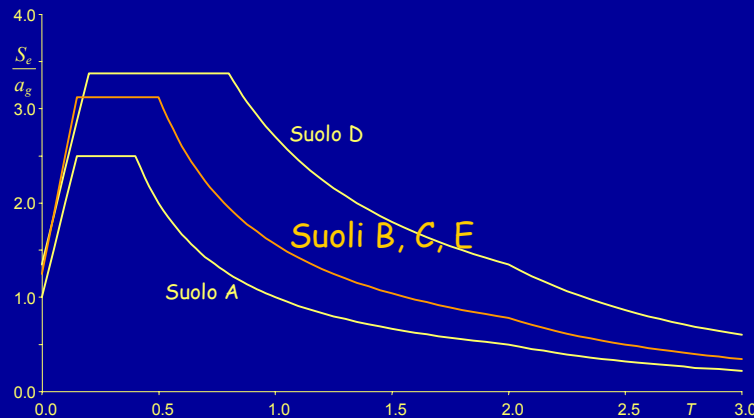
$$N_{SPT} > 50$$

Coesione non drenata

$$c_u > 250 \text{ kPa}$$



# Spettri di risposta elastica di normativa



## Suolo C

Depositi di sabbie e ghiaie  
mediamente addensate o  
argille di media consistenza

$$180 \text{ m/s} < V_{S30} < 360 \text{ m/s}$$

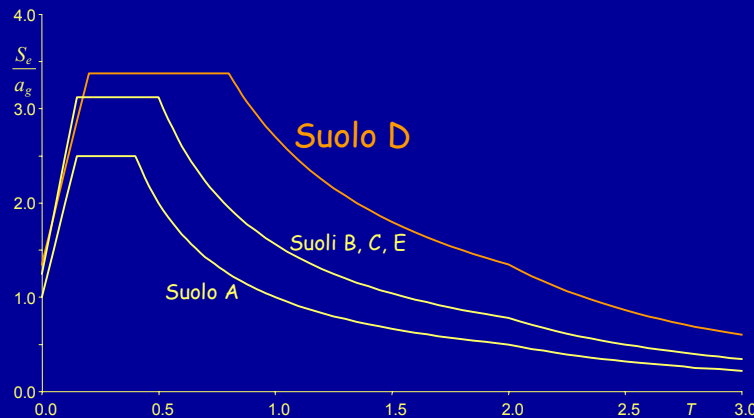
Resistenza penetrometrica  
 $15 < N_{SPT} < 50$

Coesione non drenata  
 $70 < c_u < 250 \text{ kPa}$

$V_{S30}$

Velocità media di propagazione  
delle onde di taglio nei 30 m  
superiori del suolo

# Spettri di risposta elastica di normativa



$$S = 1.35 \quad T_A = 0.2 \text{ s} \quad T_B = 0.8 \text{ s}$$

$$V_{S30}$$

Velocità media di propagazione  
delle onde di taglio nei 30 m  
superiori del suolo

## Suolo D

Depositi di terreni granulari da  
sciolti a poco addensati oppure  
coesivi da poco a  
mediamente consistenti

$$V_{S30} < 180 \text{ m/s}$$

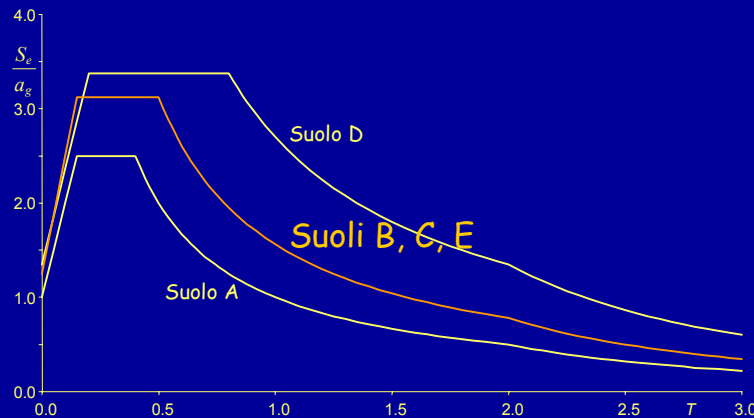
Resistenza penetrometrica

$$N_{SPT} < 15$$

Coesione non drenata

$$c_u < 70 \text{ kPa}$$

# Spettri di risposta elastica di normativa



## Suolo E

Strati superficiali alluvionali, di caratteristiche simili ai tipi C e D e spessore tra 5 e 20 m, su un substrato più rigido con  $V_{S30} > 800$  m/s

$V_{S30}$

Velocità media di propagazione delle onde di taglio nei 30 m superiori del suolo

# Spettri di risposta elastica di normativa

## Suolo S1

Depositi con strato di almeno 10 m di argille di bassa consistenza ed elevato indice di plasticità e contenuto di acqua

$$V_{S30} < 100 \text{ m/s}$$

Coesione non drenata  
 $10 < c_u < 20 \text{ kPa}$

## Suolo S2

Depositi di terreni soggetti a liquefazione

Per questi tipi di terreno occorrono studi speciali

# Esempio

Dall'alto:

12 m - sabbie marnose

$$N_{SPT} = 26$$

6.1 m - argille grigio-brune

$$N_{SPT} = 47$$

1.9 m - marne sabbiose

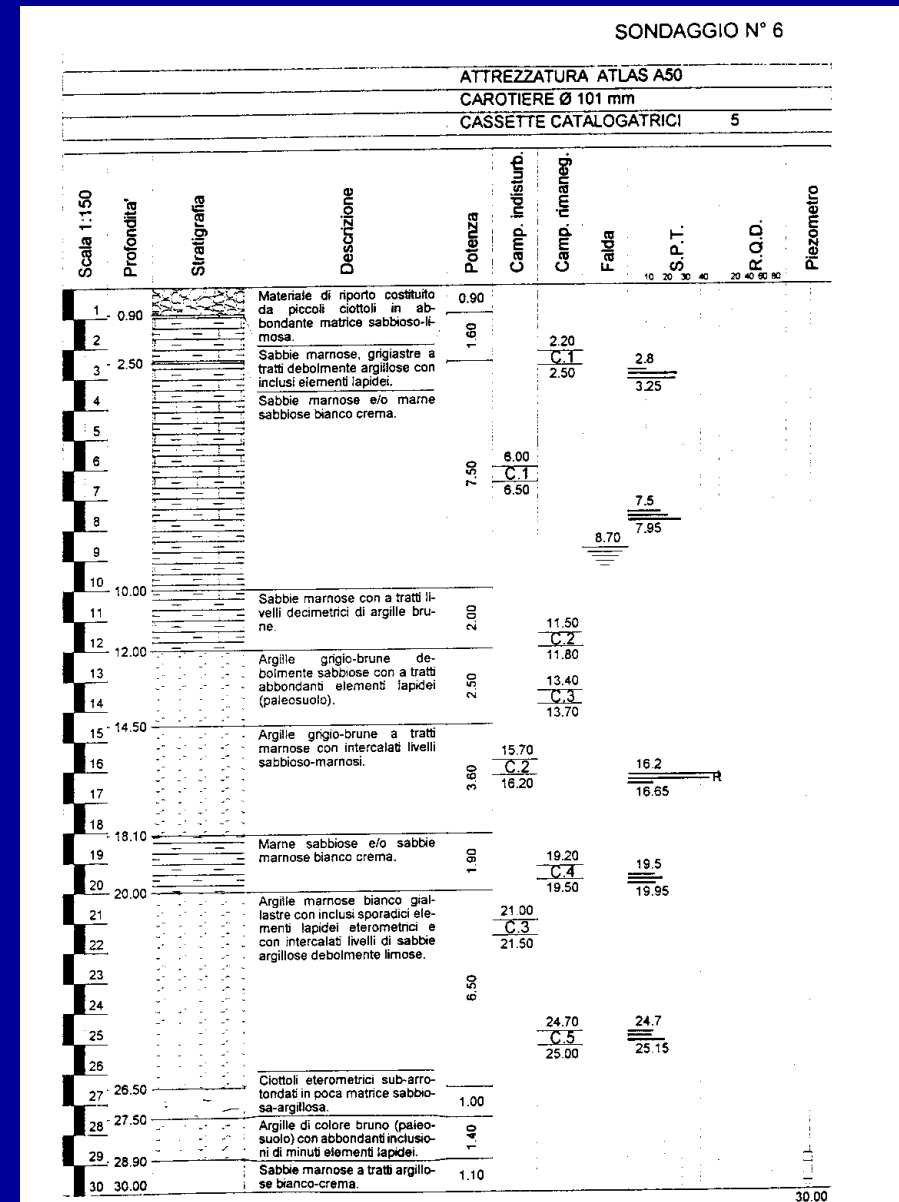
$$N_{SPT} = 16$$

6.5 m - argille marnose

$$N_{SPT} = 18$$

3.5 m - ciottoli, argille brune

$$N_{SPT} = 40$$



# Esempio

Dall'alto:

12 m - sabbie marnose  
 $N_{SPT} = 26$

6.1 m - argille grigio-brune  
 $N_{SPT} = 47$

1.9 m - marne sabbiose  
 $N_{SPT} = 16$

6.5 m - argille marnose  
 $N_{SPT} = 18$

3.5 m - ciottoli, argille brune  
 $N_{SPT} = 40$

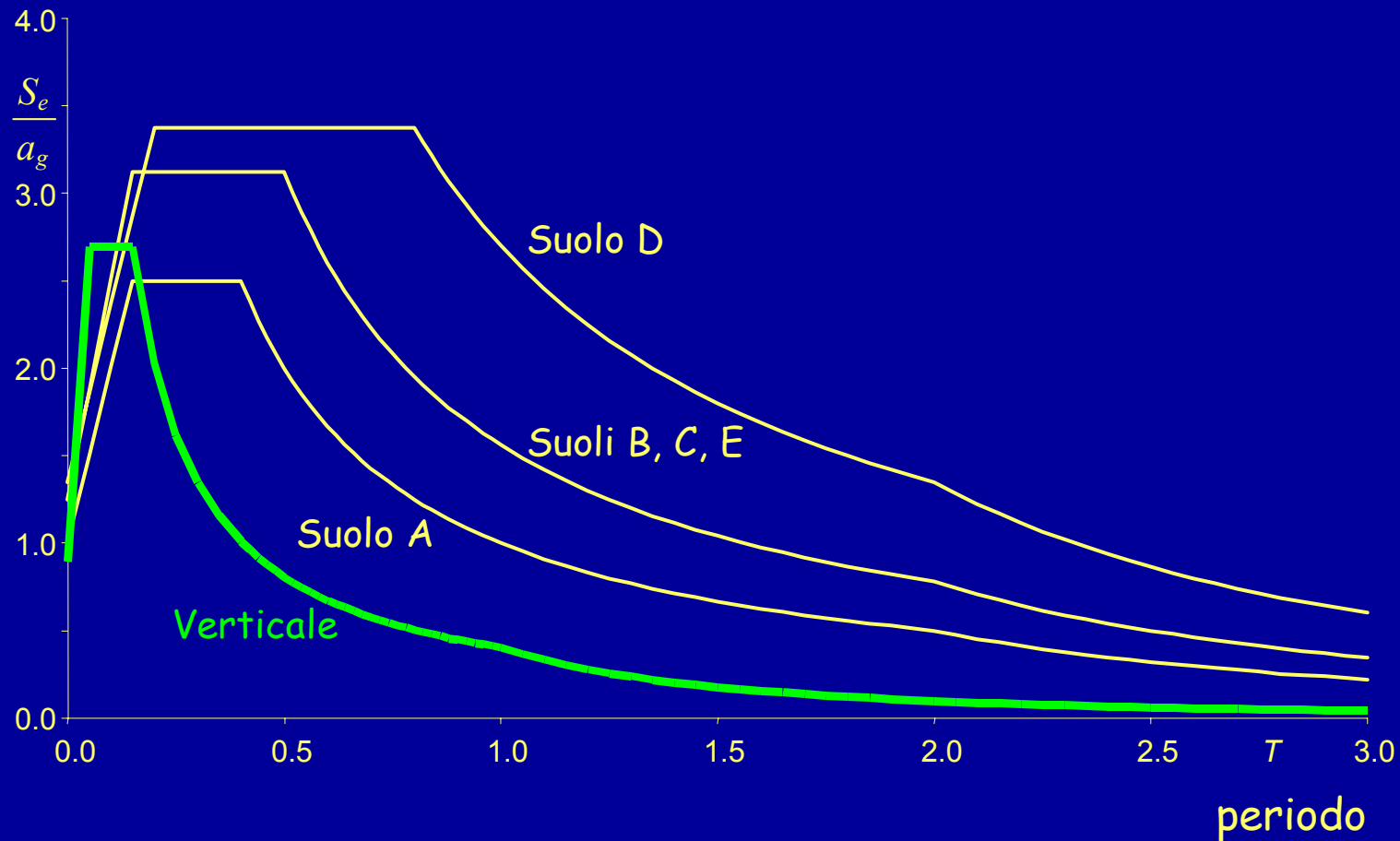
$$N_{SPT} = \frac{30}{\frac{12}{26} + \frac{6.1}{47} + \frac{1.9}{16} + \frac{6.5}{18} + \frac{3.5}{40}}$$

$$N_{SPT} = 25.9$$

Si può considerare  
suolo di tipo C, perché  
 $15 < N_{SPT} < 50$

# Spettri di risposta elastica di normativa accelerazioni orizzontali e verticali

accelerazione (normalizzata)



# Spettri di risposta elastica di normativa

L'accelerazione di picco del terreno  $a_g$  da utilizzare per verifiche allo stato limite ultimo, cioè per terremoti con alto periodo di ritorno, dipende dalla sismicità della zona

| zona | $a_g$  |
|------|--------|
| 1    | 0.35 g |
| 2    | 0.25 g |
| 3    | 0.15 g |
| 4    | 0.05 g |



# Spettri di risposta elastica di normativa

Terremoti con periodo di ritorno più basso possono avere spettri differenti.

Per semplicità si assume che il terremoto da usare per lo stato limite di danno abbia lo stesso spettro ma accelerazione al suolo ridotta di 2.5

SLU

| zona | $a_g$  |
|------|--------|
| 1    | 0.35 g |
| 2    | 0.25 g |
| 3    | 0.15 g |
| 4    | 0.05 g |

SLD

| zona | $a_g$                         |
|------|-------------------------------|
| 1    | $0.35 / 2.5 = 0.14 \text{ g}$ |
| 2    | $0.25 / 2.5 = 0.10 \text{ g}$ |
| 3    | $0.15 / 2.5 = 0.06 \text{ g}$ |
| 4    | $0.05 / 2.5 = 0.02 \text{ g}$ |

FINE

Immagini tratte dal libro:

A. Ghersi, P. Lenza

Edifici antisismici in c.a.

(in preparazione)

Dati geotecnici dell'esempio forniti da:

M.R. Massimino

Per questa presentazione:

coordinamento

A. Ghersi

realizzazione

A. Ghersi

ultimo aggiornamento

6/03/2004